

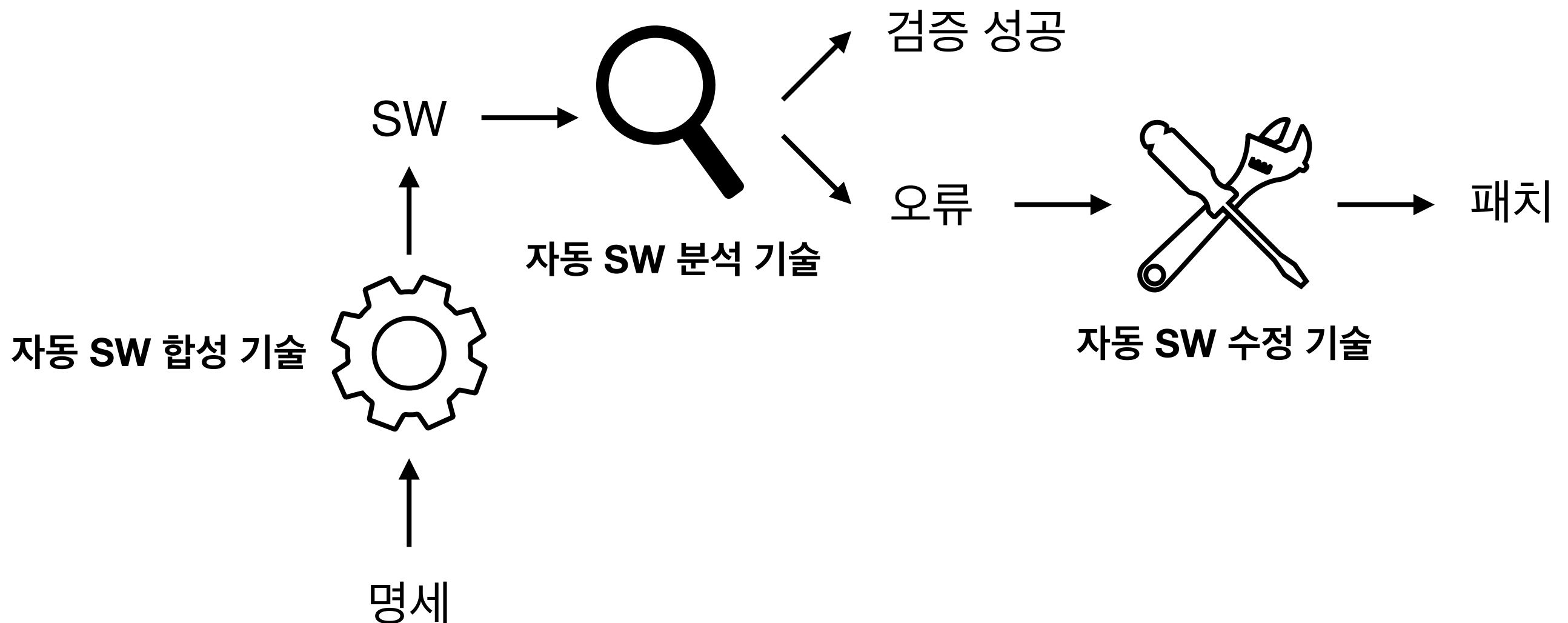
# 고려대 양자 프로그래밍 연구 소개

오학주  
고려대학교 컴퓨터학과

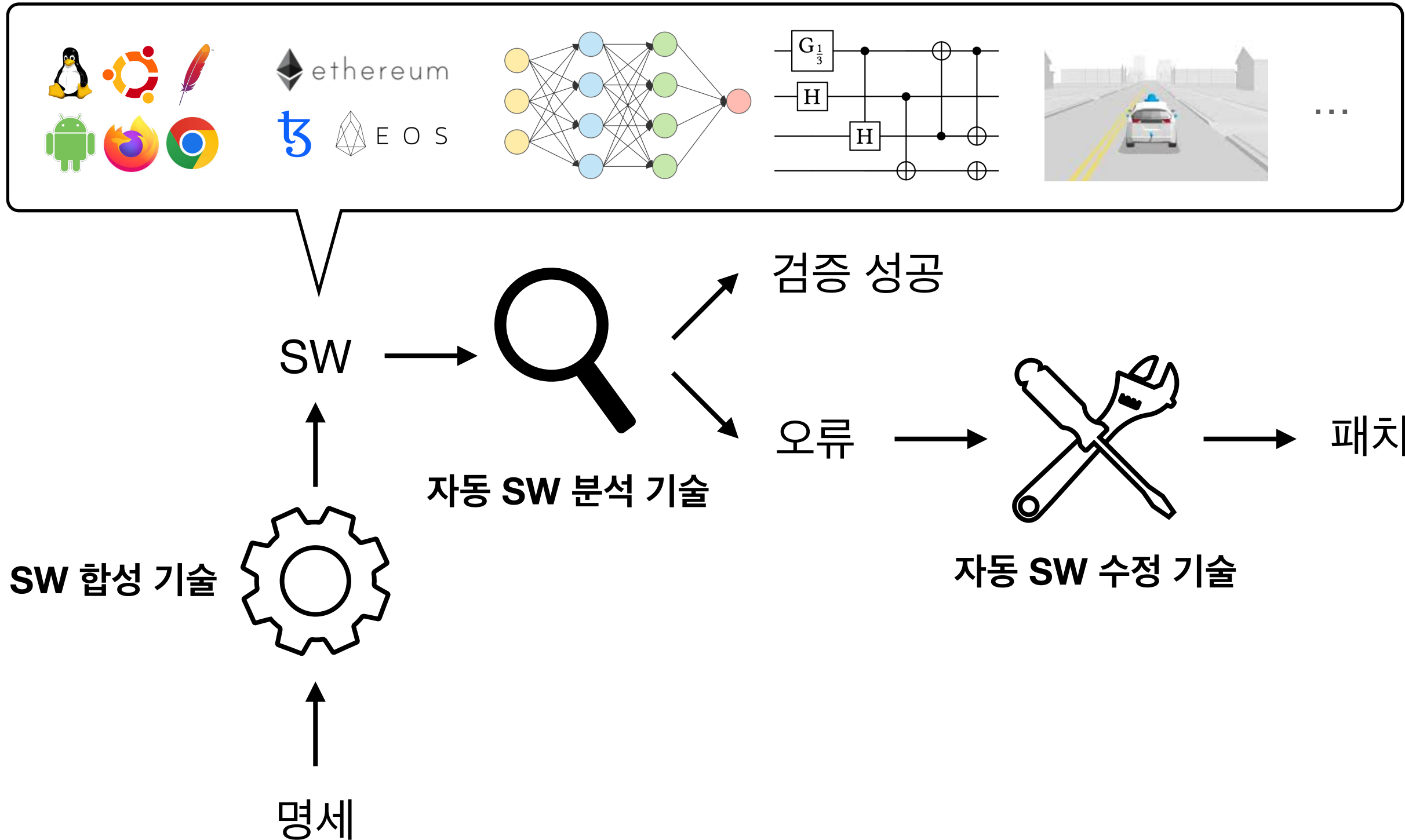


02/03/2023@ERC Workshop

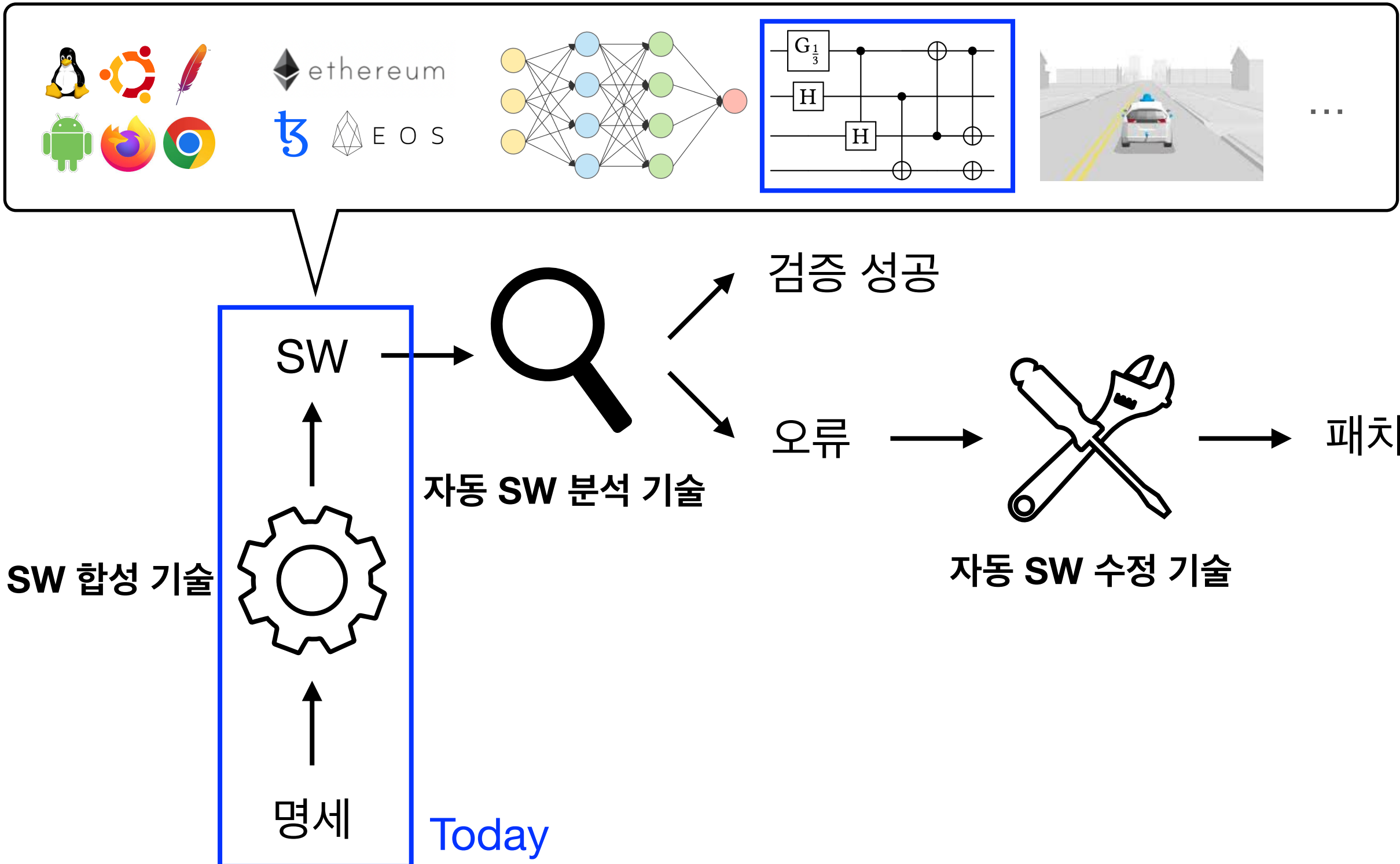
# Our Research



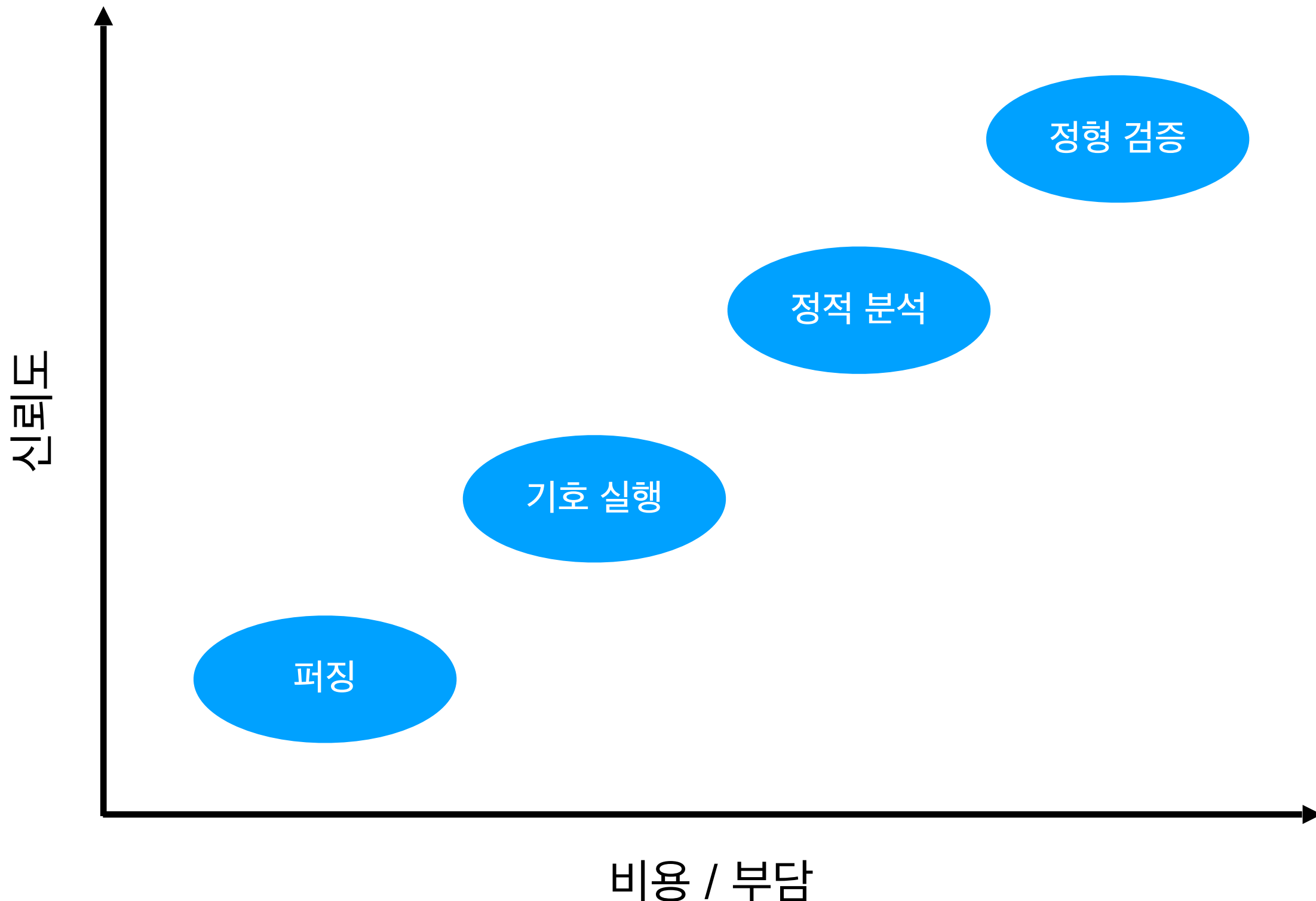
# Our Research



# Our Research

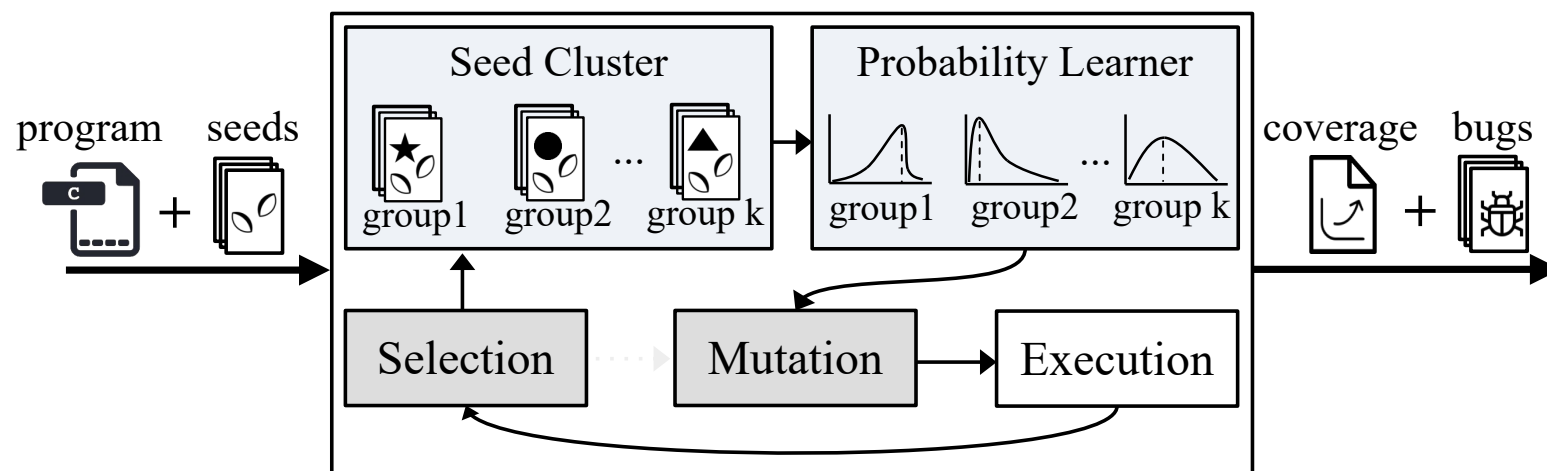


# 프로그램 분석

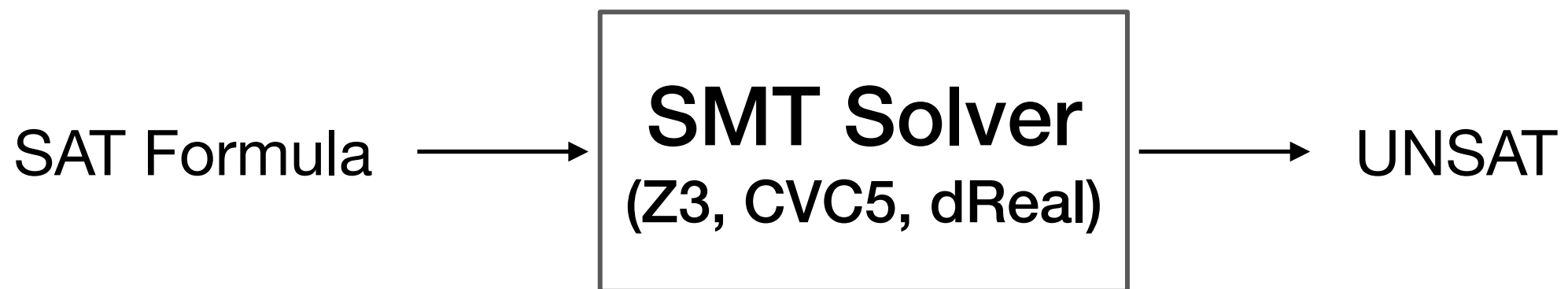


# 퍼징

- Seed-adaptive grey-box fuzzing [ICSE 2023]



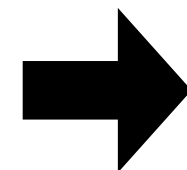
- Finding soundness bugs in SMT solvers [ICSE 2023]



# 기호 실행

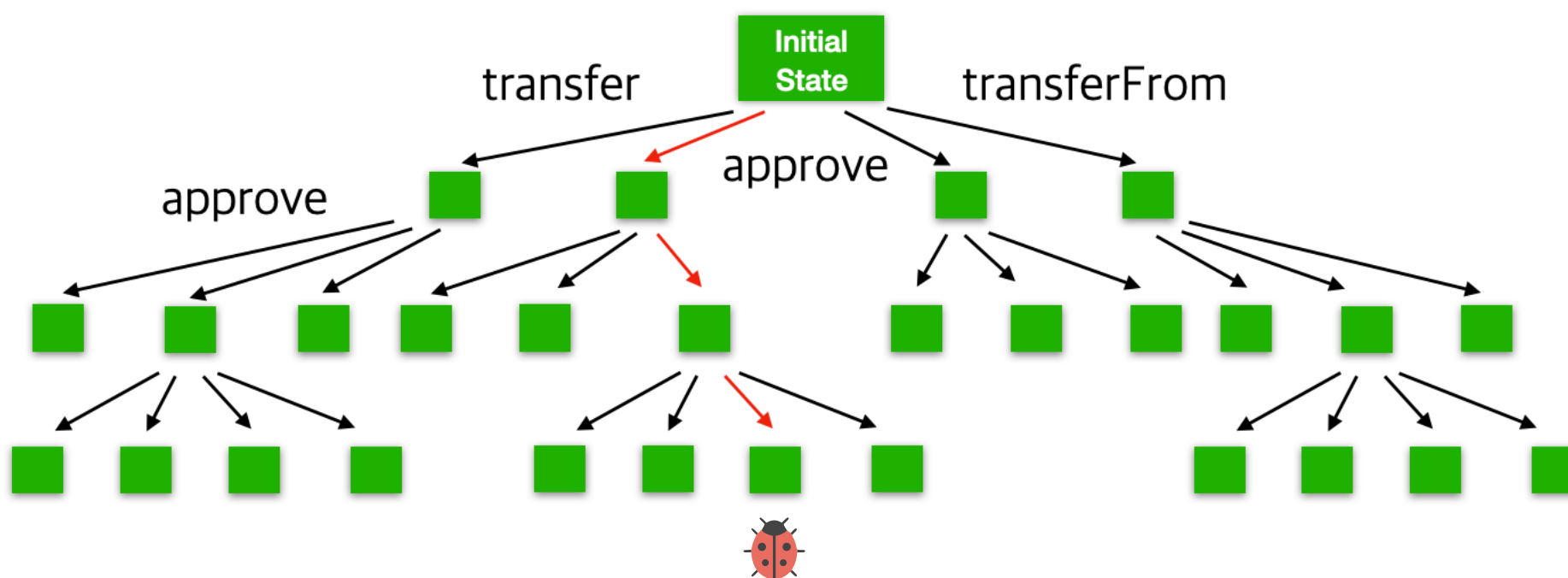
- Automated parameter configuration [ICSE 2022]

```
$ klee --simplify-sym-indices --max-memory=1000 --optimize  
    --use-forked-solver --use-cex-cache --external-calls=all  
    --max-sym-array-size=4096 --max-instruction-time=30s  
    --max-time=60min --max-memory-inhibit=false  
    --max-static-fork-pct=1 --max-static-solve-pct=1  
    --max-static-cpfork-pct=1 --switch-type=internal  
    --search=random-path --search=nurs:covnew  
    --batch-instructions=10000 ./pgm.bc --sym-args 0 1 10  
    --sym-args 0 2 2 --sym-files 1 8 --sym-stdin 8 --sym-stdout ...
```



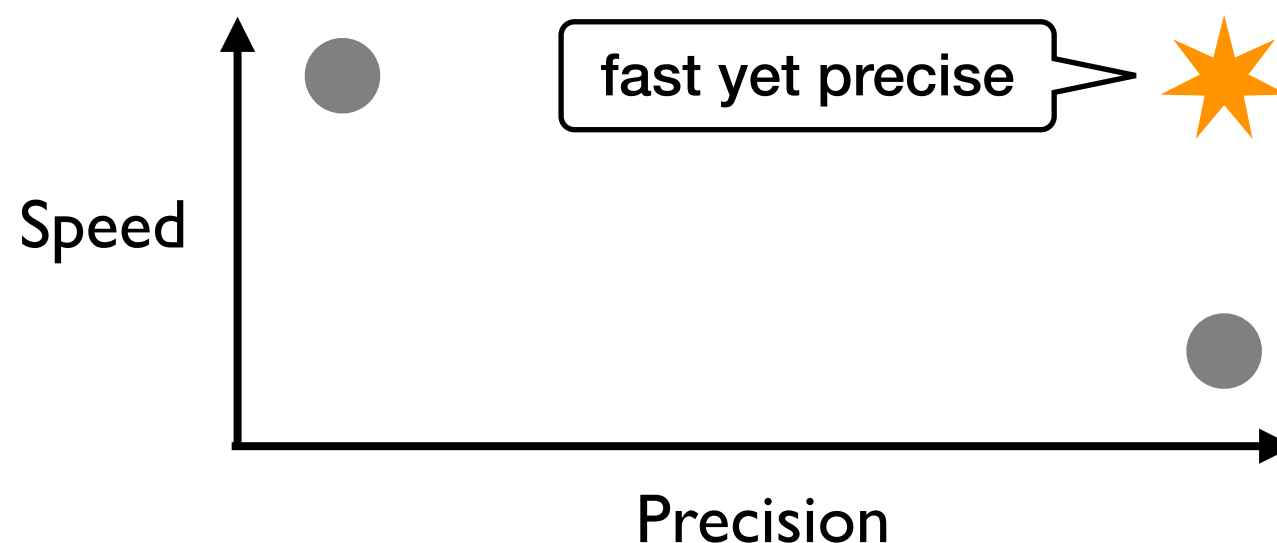
```
$ klee pgm.bc
```

- Language model-guided symbolic execution [Security 2021]

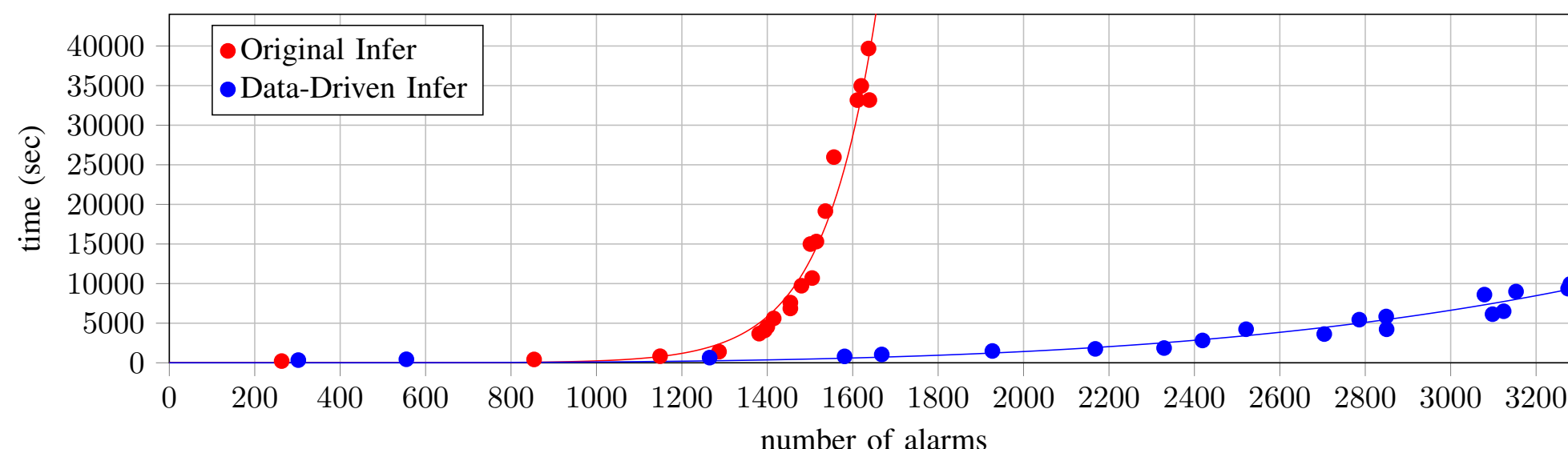


# 정적 분석

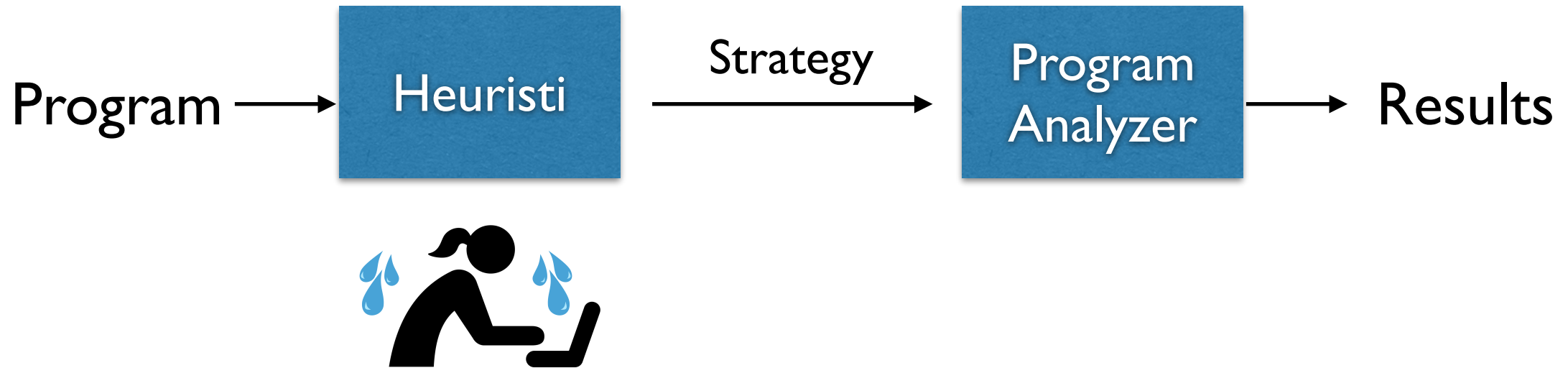
- Balancing precision & scalability of sound analysis [POPL 2022]



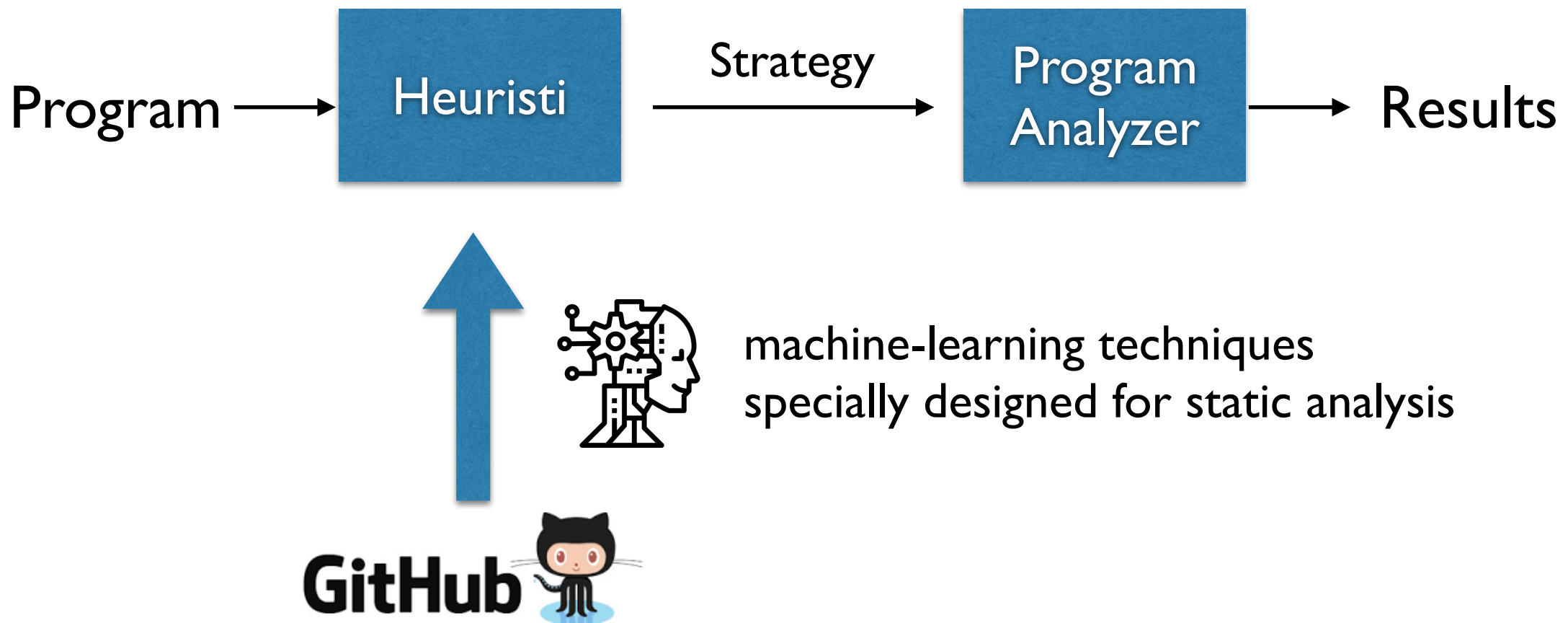
- Boosting unsound, path-sensitive bug-finders [ICSE 2023]



# 데이터 기반 프로그램 분석

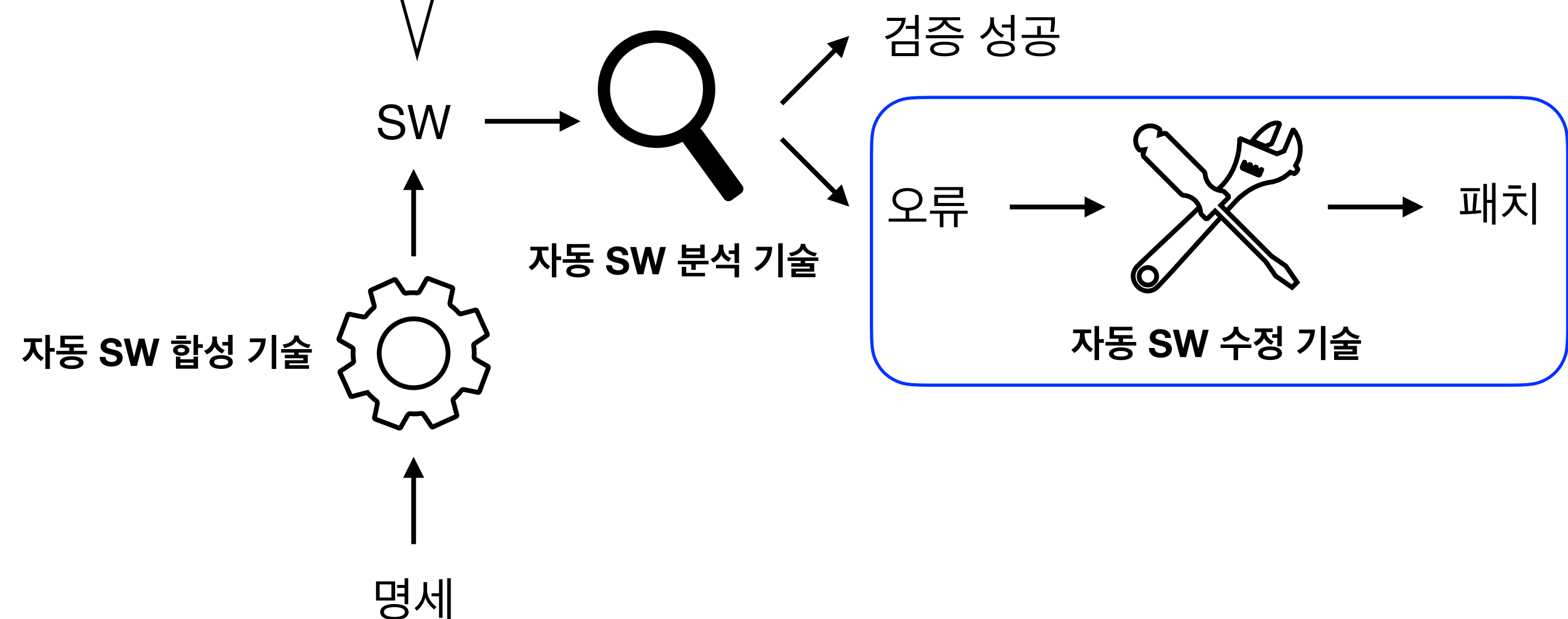
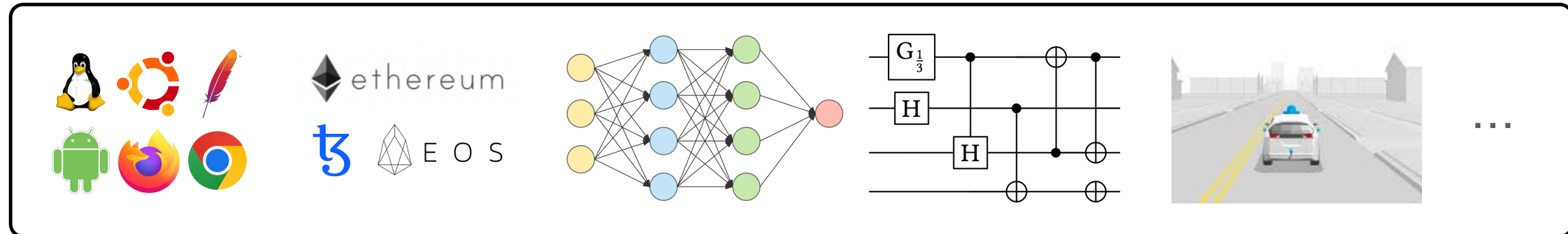


# 데이터 기반 프로그램 분석



- **Automatic:** little reliance on analysis designers
- **Powerful:** machine-tuning outperforms hand-tuning

# Our Research

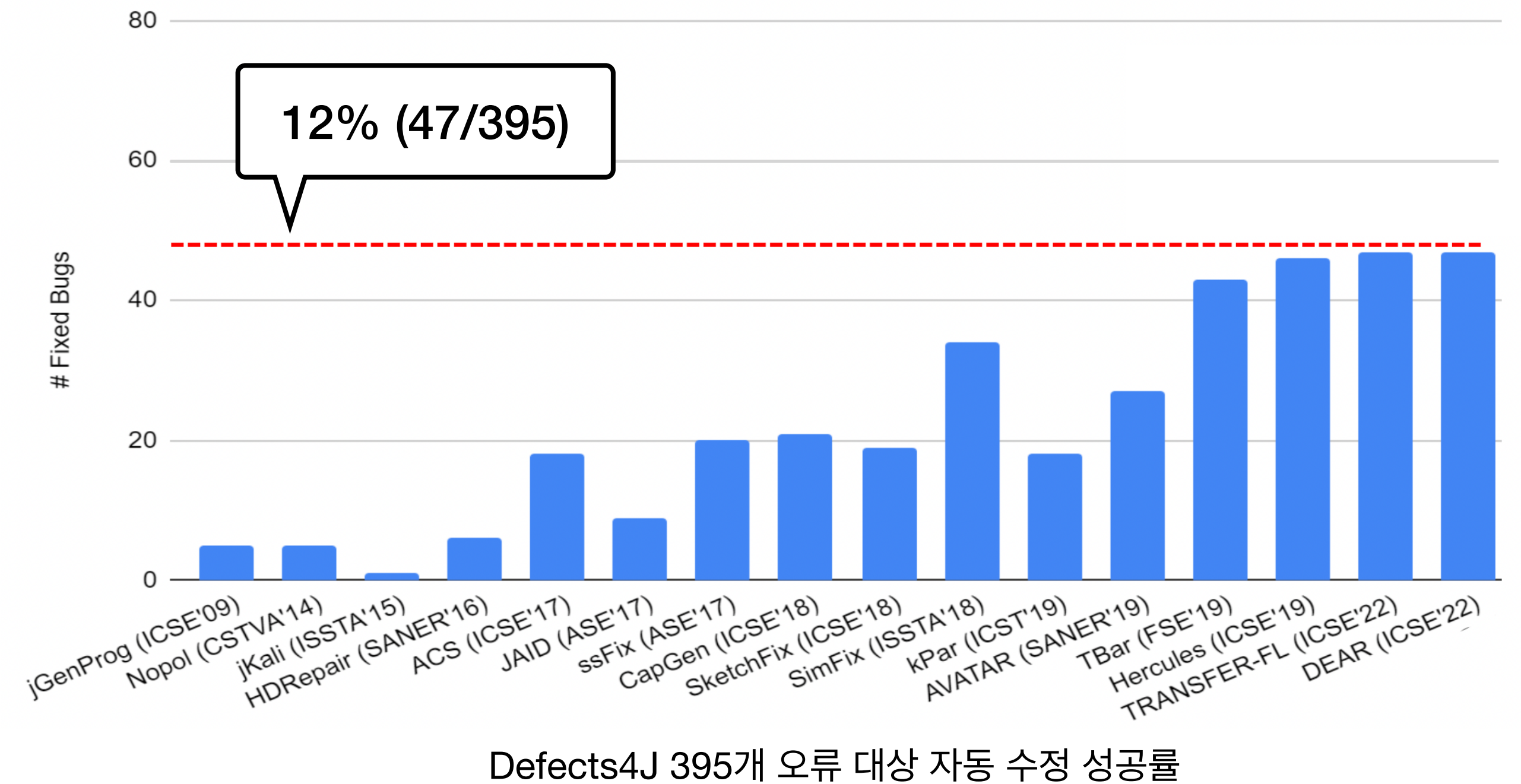


# 프로그램 자동 수정 연구

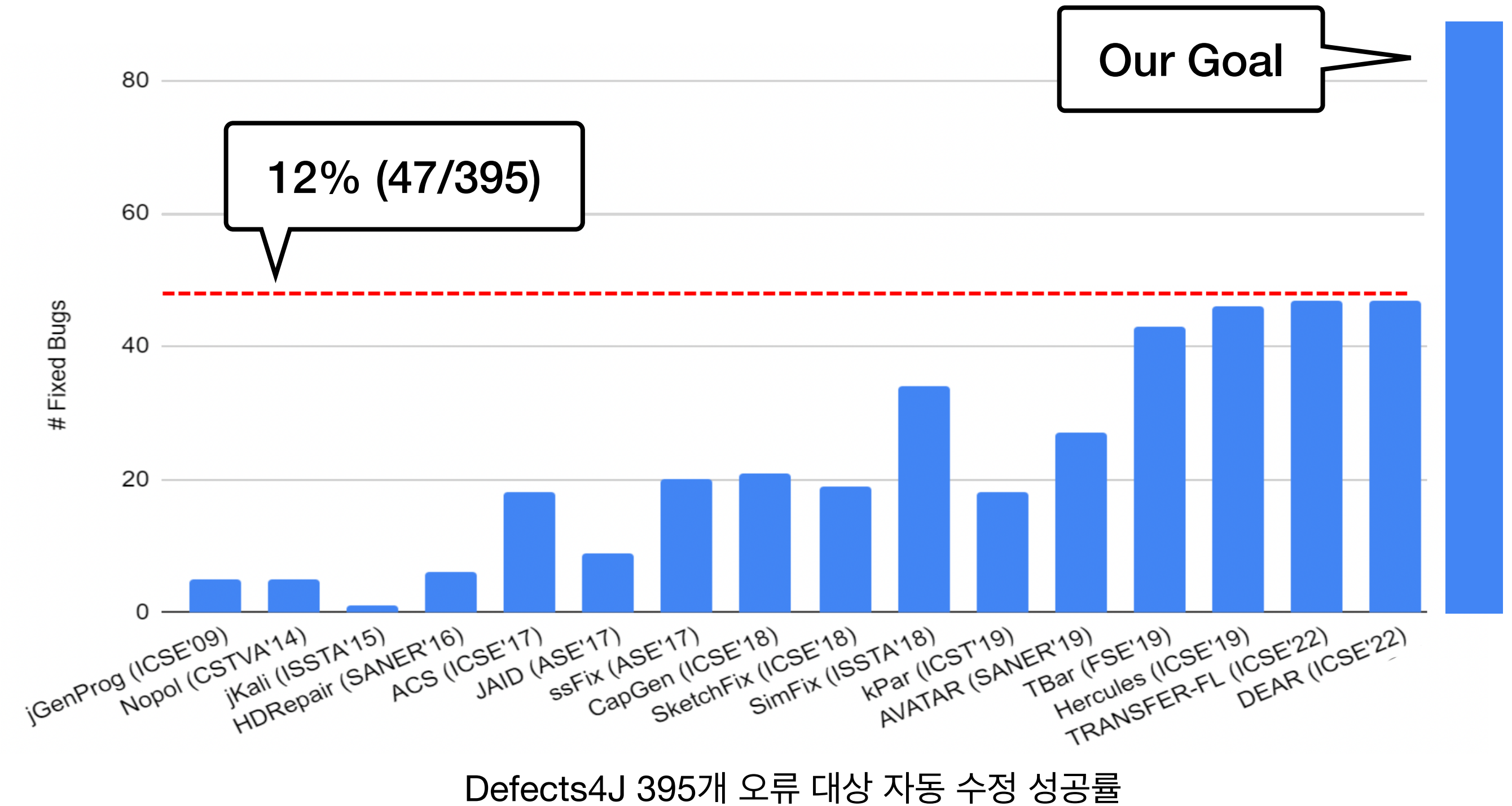
- 도메인 특화 기술
  - C/C++ 메모리 오류 자동 수정 [FSE 2018, ICSE 2020]
  - Java 널 포인터 오류 자동 수정 [ICSE 2022]
  - Python 타입 오류 자동 수정 [FSE 2022]
  - Solidity 보안 취약점 자동 수정 (in progress)
  - OCaml 프로그래밍 과제 자동 수정 [OOPSLA 2018/2019, FSE 2021]
- 일반 기술 (테스트 케이스 기반)

# 일반적 자동 수정 기술 현황

# 일반적 자동 수정 기술 현황



# 일반적 자동 수정 기술 현황

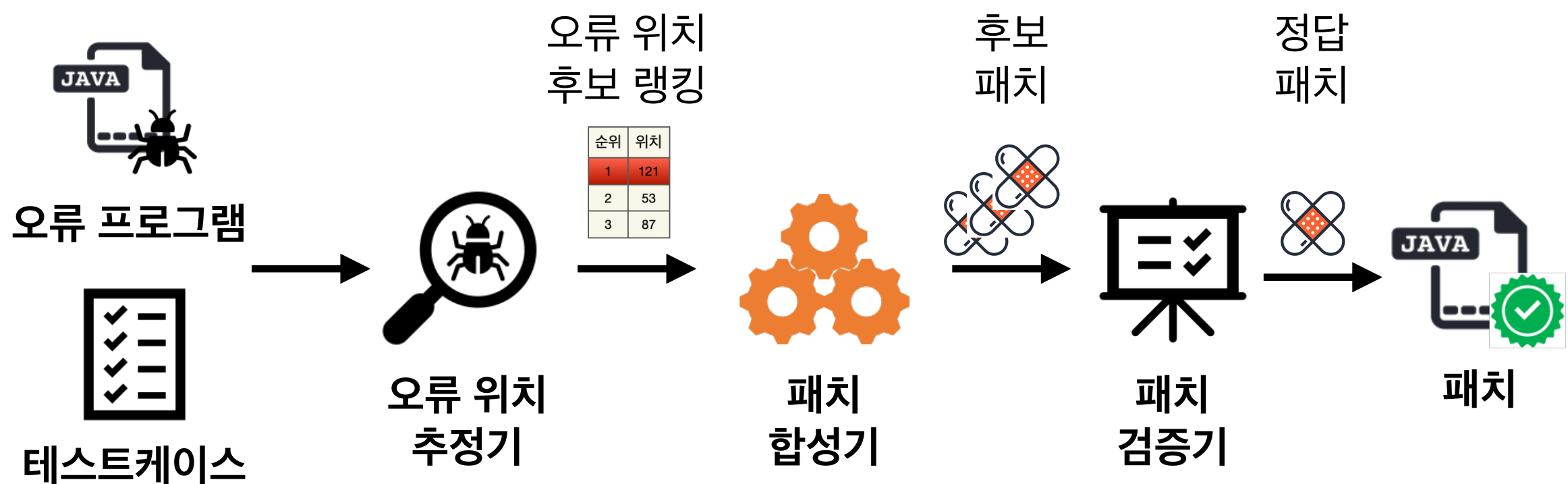


# 일반적 자동 수정 기술 현황

## Closure-71 (Defects4J) 사례

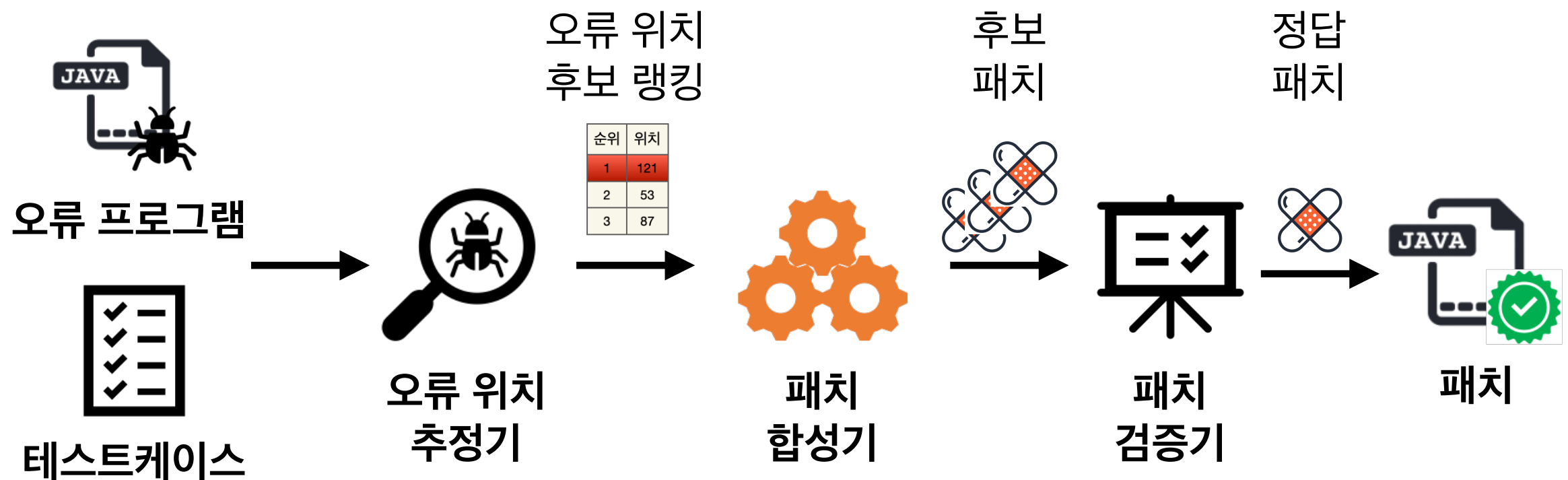
```
void checkVisibility(Node t, Node parent) {  
(-) boolean isOverride = t.inGlobalScope() && ...  
(+)
    boolean isOverride = parent.getJSDocInfo() == null && ...  
  
if (isOverride) {  
    compiler.report(PRIVATE_OVERRIDE);  
}  
}
```

# 일반적 자동 수정 기술 현황

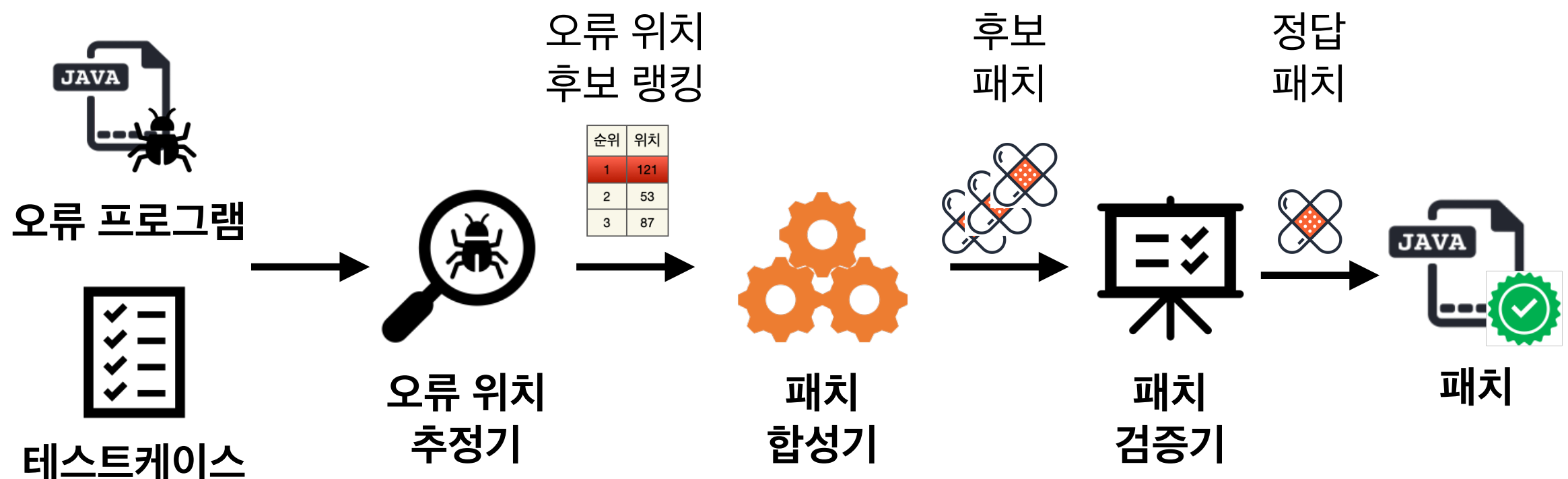
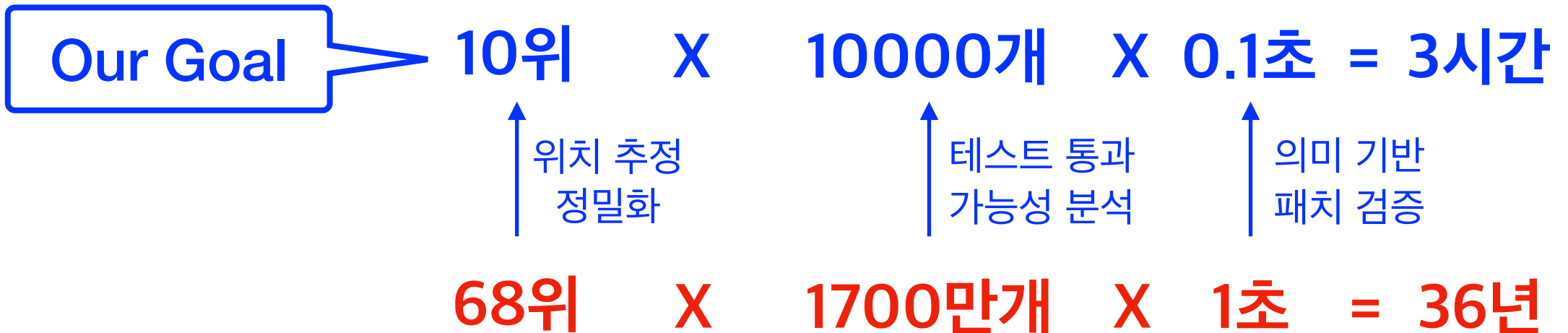


# 일반적 자동 수정 기술 현황

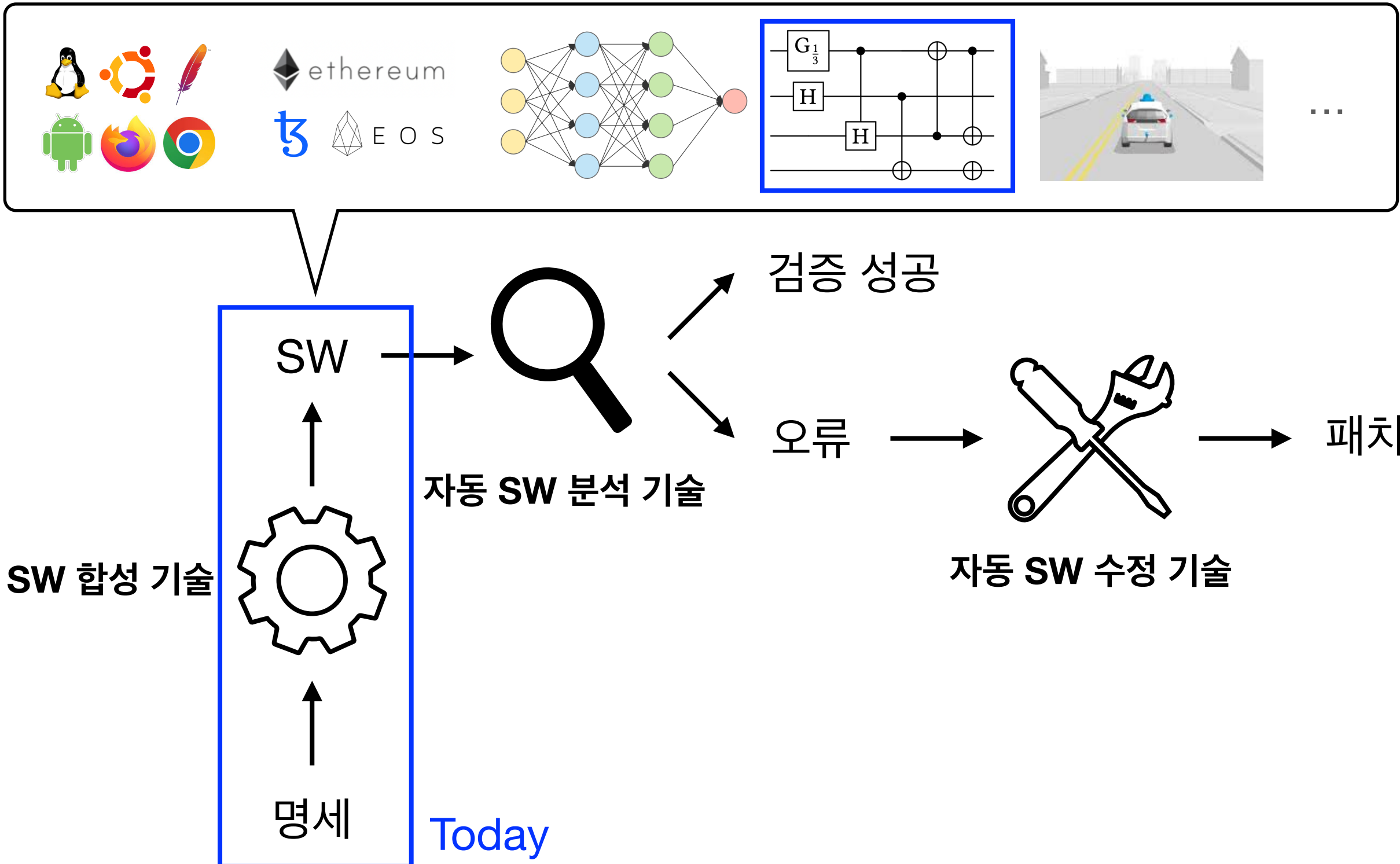
$$68\text{위} \times 1700\text{만개} \times 1\text{초} = 36\text{년}$$



# 일반적 자동 수정 기술 현황



# Our Research



# 양자 회로 자동 합성 (OOPSLA 2023)

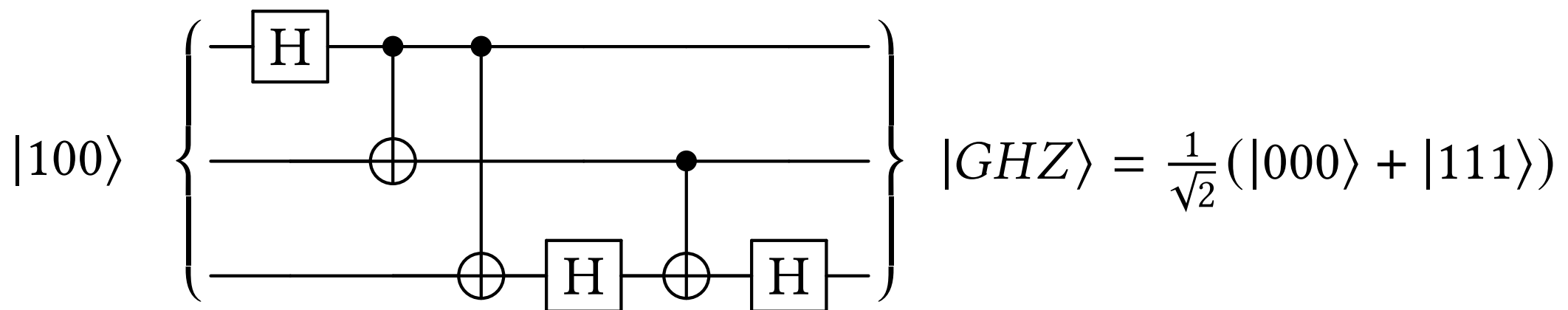
입출력 명세

$$|100\rangle \mapsto \frac{1}{\sqrt{2}}(|000\rangle + |111\rangle)$$

컴포넌트 게이트

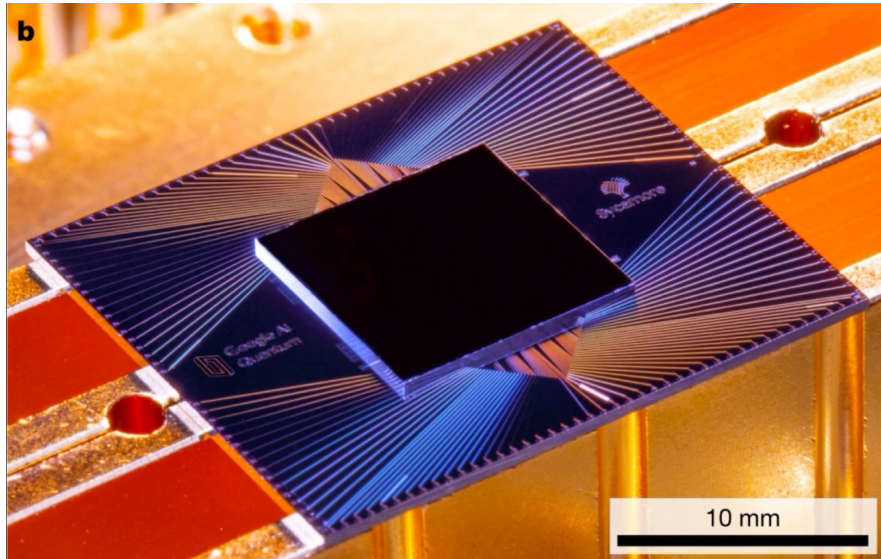
$$H, CNOT$$

양자 회로 합성기



# 양자 컴퓨터

- 하드웨어

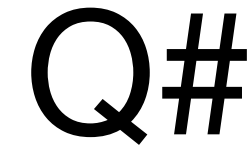


Google Sycamore (2019)



IBM Hummingbird, Eagle, Osprey (2020-2022)

- 소프트웨어



# 양자 컴퓨터

- 고전 컴퓨터의 일반화

# 양자 컴퓨터

- 고전 컴퓨터의 일반화

● 0

고전 비트

● 1

# 양자 컴퓨터

- 고전 컴퓨터의 일반화

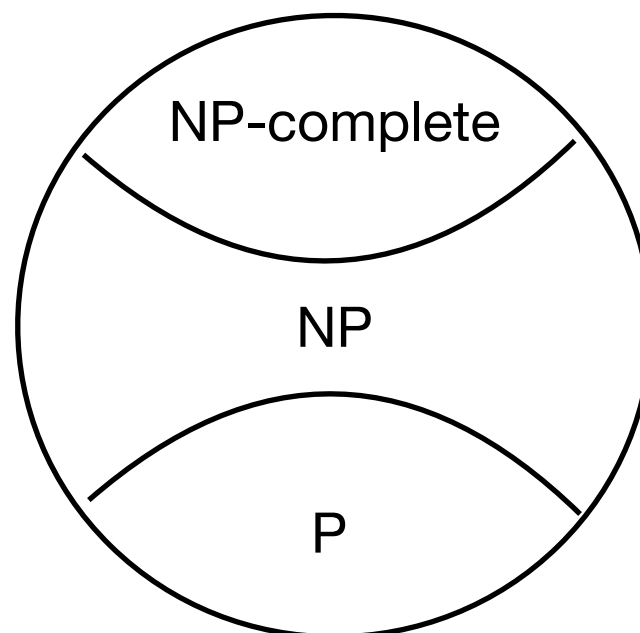


# 양자 컴퓨터

- 고전 컴퓨터의 일반화



- 가능성 & 한계

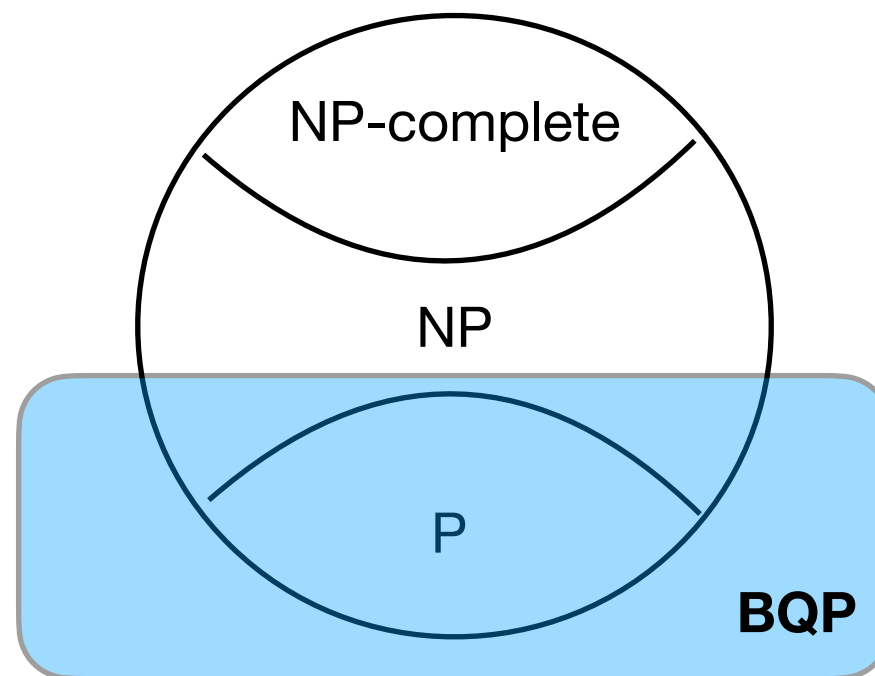


# 양자 컴퓨터

- 고전 컴퓨터의 일반화



- 가능성 & 한계

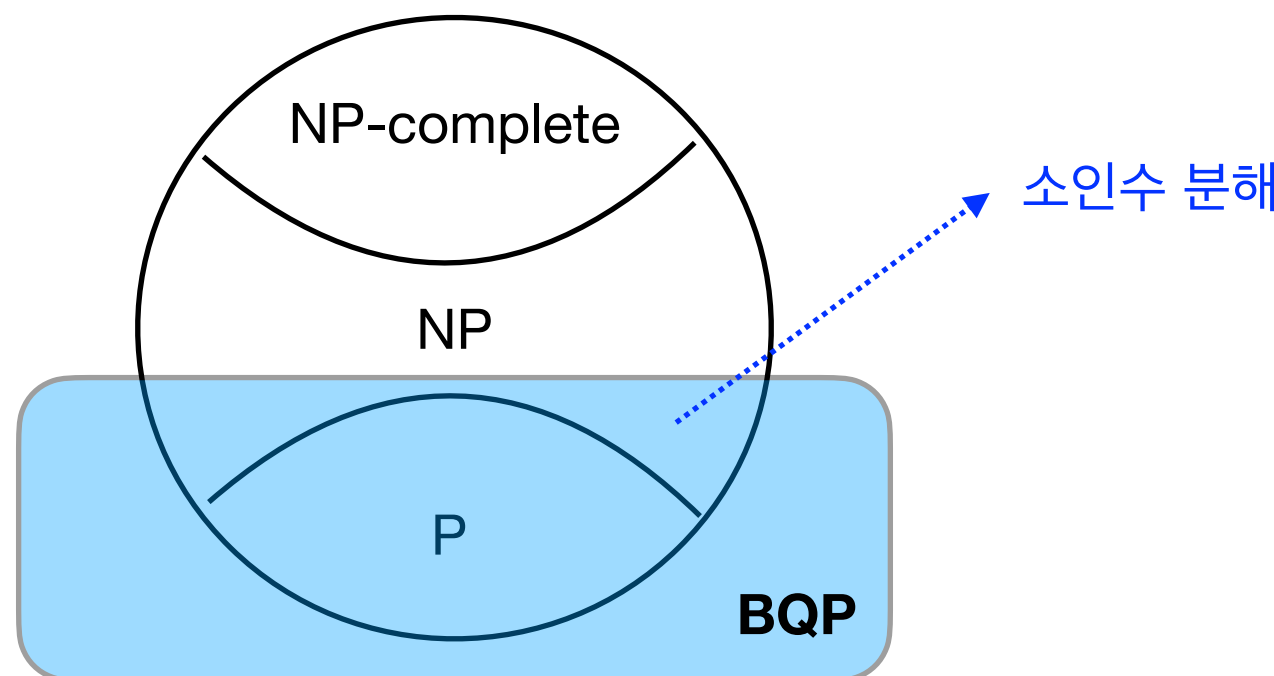


# 양자 컴퓨터

- 고전 컴퓨터의 일반화



- 가능성 & 한계

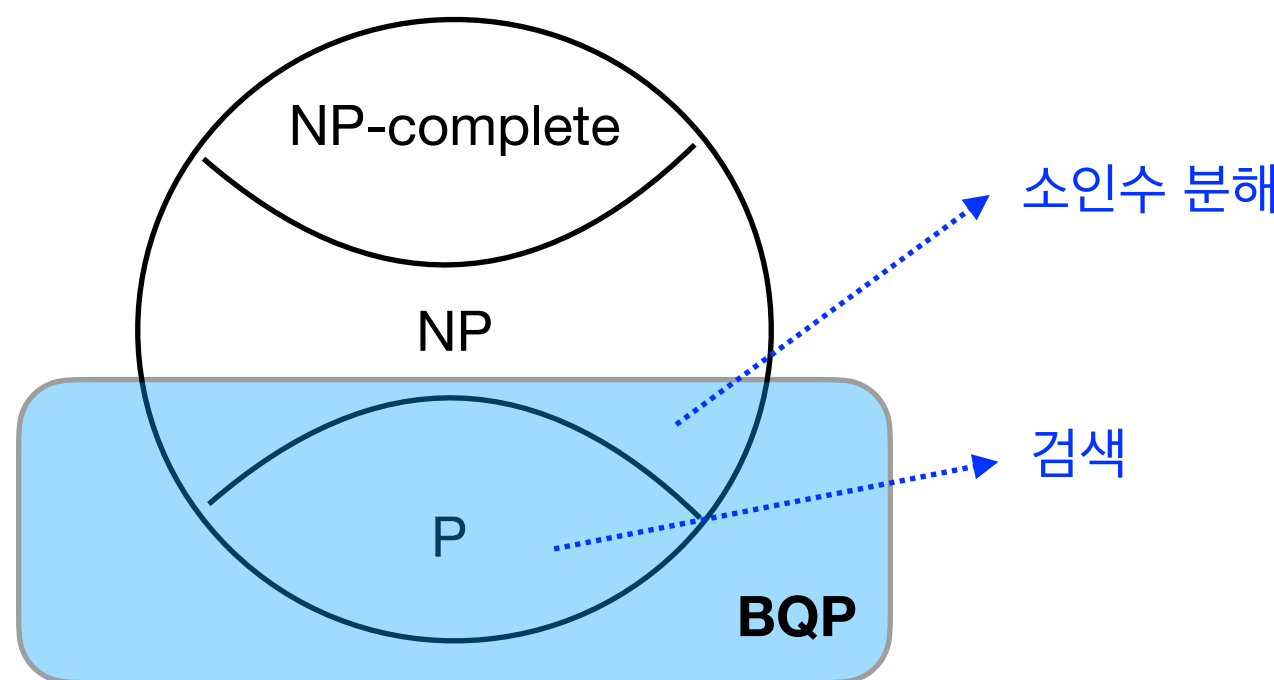


# 양자 컴퓨터

- 고전 컴퓨터의 일반화

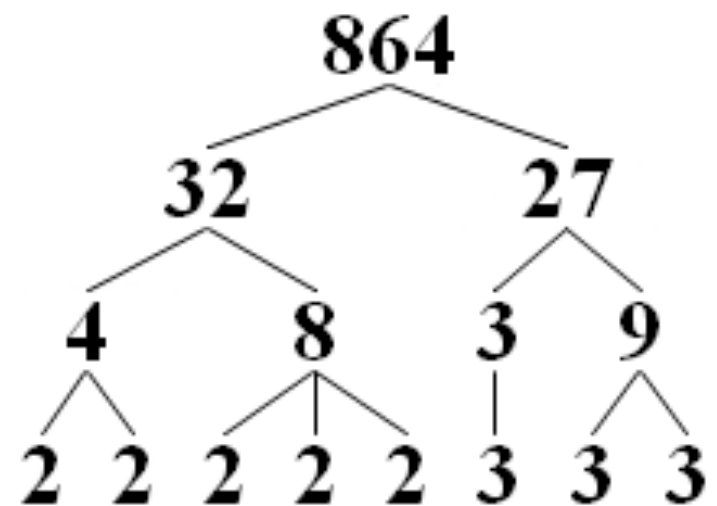


- 가능성 & 한계



# 적용 사례

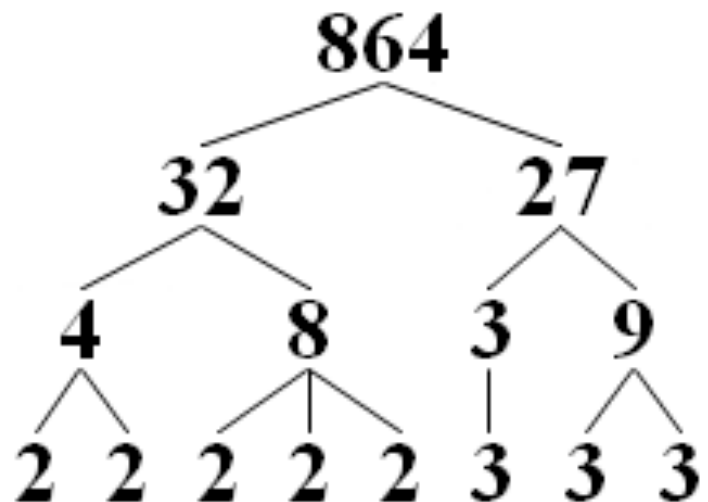
(1) 소인수분해 [Shor 1995]



$O(2^N)$  vs  $O(N^3)$

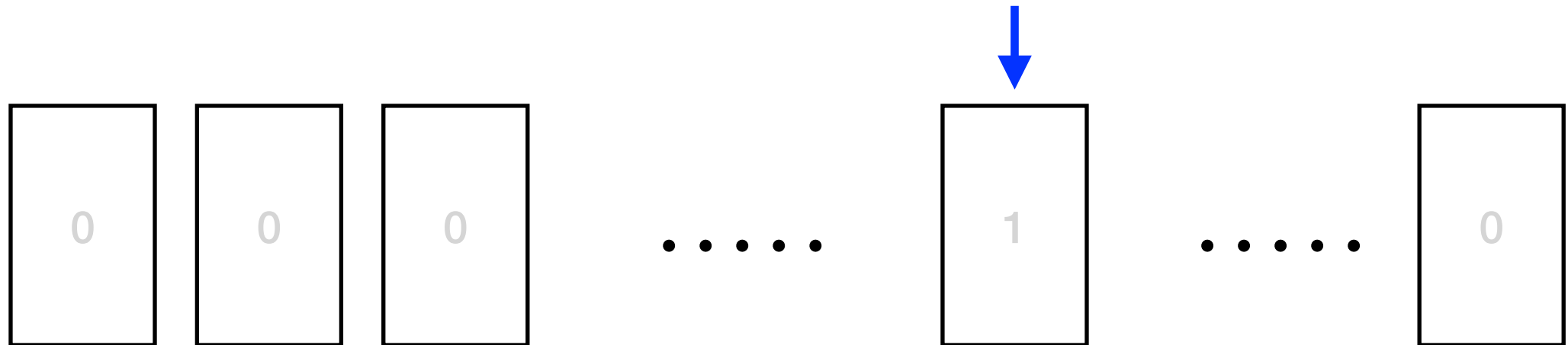
# 적용 사례

(1) 소인수분해 [Shor 1995]



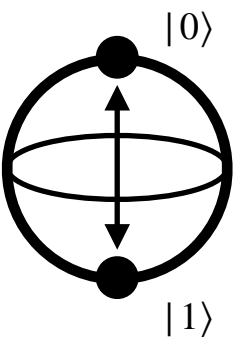
$O(2^N)$  vs  $O(N^3)$

(2) 검색 [Grover 1996]



$O(N)$  vs  $O(\sqrt{N})$

# 큐비트



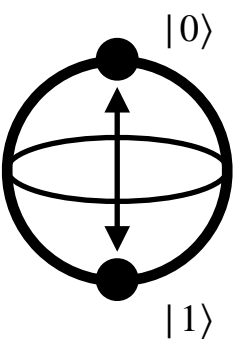
- 비트의 일반화 (0과 1의 중첩 – 선형 결합)

$$|\psi\rangle = \alpha_0 |0\rangle + \alpha_1 |1\rangle$$

- $\alpha_1, \alpha_2 \in \mathbb{C}$ : 확률 진폭 (probability amplitude)

$$|\alpha_1|^2 + |\alpha_2|^2 = 1$$

# 큐비트



- 비트의 일반화 (0과 1의 중첩 – 선형 결합)

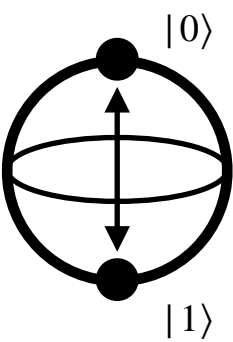
$$|\psi\rangle = \alpha_0 |0\rangle + \alpha_1 |1\rangle$$

- $\alpha_1, \alpha_2 \in \mathbb{C}$ : 확률 진폭 (probability amplitude)

$$|\alpha_1|^2 + |\alpha_2|^2 = 1$$

- $|0\rangle$
- $|1\rangle$
- $\frac{1}{\sqrt{2}}|0\rangle + \frac{1}{\sqrt{2}}|1\rangle$

# 큐비트



- 비트의 일반화 (0과 1의 중첩 – 선형 결합)

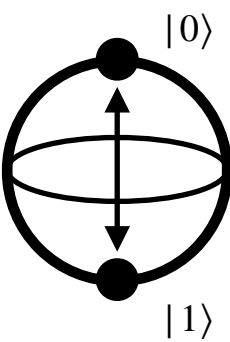
$$|\psi\rangle = \alpha_0 |0\rangle + \alpha_1 |1\rangle$$

- $\alpha_1, \alpha_2 \in \mathbb{C}$ : 확률 진폭 (probability amplitude)

$$|\alpha_1|^2 + |\alpha_2|^2 = 1$$

- $|0\rangle$
- $|1\rangle$
- $\frac{1}{\sqrt{2}}|0\rangle - \frac{1}{\sqrt{2}}|1\rangle$
- $\frac{1}{\sqrt{2}}|0\rangle + \frac{1}{\sqrt{2}}|1\rangle$

# 큐비트



- 비트의 일반화 (0과 1의 중첩 – 선형 결합)

$$|\psi\rangle = \alpha_0 |0\rangle + \alpha_1 |1\rangle$$

- $\alpha_1, \alpha_2 \in \mathbb{C}$ : 확률 진폭 (probability amplitude)

$$|\alpha_1|^2 + |\alpha_2|^2 = 1$$

- $|0\rangle$
- $|1\rangle$
- $\frac{1}{\sqrt{2}}|0\rangle + \frac{1}{\sqrt{2}}|1\rangle$
- $\frac{1}{\sqrt{2}}|0\rangle - \frac{1}{\sqrt{2}}|1\rangle$
- $\sqrt{\frac{3}{4}}|0\rangle + \frac{i}{\sqrt{4}}|1\rangle$

# N개 큐비트

- 고전 비트 2개로 만들어지는 상태

00, 01, 10, 11

- 큐비트 2개 = 고전 2-bit 상태들의 중첩

$$|\psi\rangle = \alpha_0|00\rangle + \alpha_1|01\rangle + \alpha_2|10\rangle + \alpha_3|11\rangle \quad \left( \sum_i |\alpha_i|^2 = 1 \right)$$

- 큐비트  $N$ 개 = 고전  $N$ -bit 상태들의 중첩

$$|\psi\rangle = \sum_{x \in \{0,1\}^N} \alpha_x |x\rangle$$

2 $N$ 개 확률 진폭을 “저장”

# 병렬처리: 고전 컴퓨터 vs. 양자 컴퓨터

- $f: \{0,1\} \rightarrow \{0,1\}$

$$\begin{array}{c} f(0) \\ \text{vs.} \\ f(1) \end{array} \qquad f\left(\frac{|0\rangle + |1\rangle}{\sqrt{2}}\right)$$

# 병렬처리: 고전 컴퓨터 vs. 양자 컴퓨터

- $f: \{0,1\} \rightarrow \{0,1\}$

$$\begin{array}{c} f(0) \\ \text{vs.} \\ f(1) \end{array} \qquad f\left(\frac{|0\rangle + |1\rangle}{\sqrt{2}}\right)$$

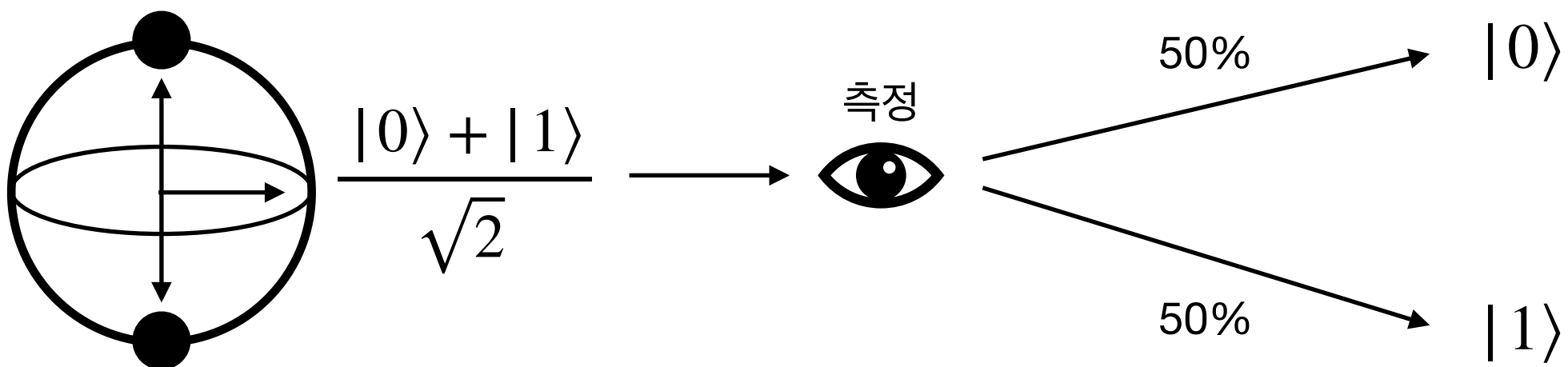
- $f: \{0,1\}^N \rightarrow \{0,1\}$

$$\begin{array}{c} f(0) \\ f(1) \\ \vdots \\ f(2^N - 1) \end{array} \qquad \text{vs.} \qquad f\left(\frac{|0\rangle + |1\rangle + \dots + |2^N - 1\rangle}{\sqrt{2^N}}\right)$$

# 측정과 붕괴

$$|\psi\rangle = \alpha_0 |0\rangle + \alpha_1 |1\rangle$$

- 큐비트의 내부 상태( $\alpha_1, \alpha_2$ )는 알 수 없고, **고전 정보만 관측 가능**
- 큐비트  $|\psi\rangle$ 를 측정하면,
  - $|\alpha_0|^2$ 의 확률로 0이 관측되고  $|\psi\rangle = |0\rangle$ 로 붕괴
  - $|\alpha_1|^2$ 의 확률로 1이 관측되고  $|\psi\rangle = |1\rangle$ 로 붕괴



# N개 큐비트 측정

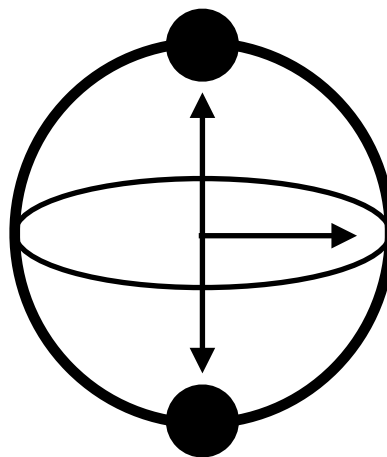
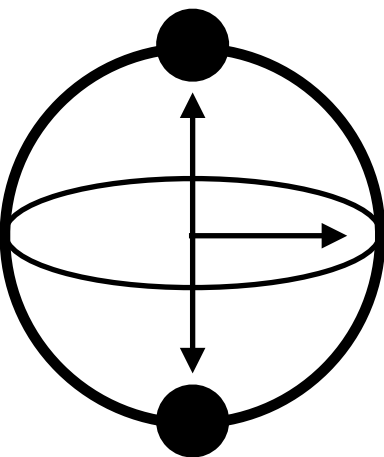
$$|\psi\rangle = \alpha_0|00\rangle + \alpha_1|01\rangle + \alpha_2|10\rangle + \alpha_3|11\rangle$$

- 상태  $|\psi\rangle$ 를 측정하면,
  - $|\alpha_0|^2$ 의 확률로 00이 관측되고  $|\psi\rangle = |00\rangle$ 로 붕괴
  - $|\alpha_1|^2$ 의 확률로 01이 관측되고  $|\psi\rangle = |01\rangle$ 로 붕괴
  - $|\alpha_2|^2$ 의 확률로 10이 관측되고  $|\psi\rangle = |10\rangle$ 로 붕괴
  - $|\alpha_3|^2$ 의 확률로 11이 관측되고  $|\psi\rangle = |11\rangle$ 로 붕괴
- 예:

$$|\psi\rangle = \frac{|00\rangle + |01\rangle + |10\rangle + |11\rangle}{\sqrt{4}}$$

# 얽힘 (Entanglement)

- 얽히지 않은 상태 = 개별 큐비트들이 단순 결합된 상태

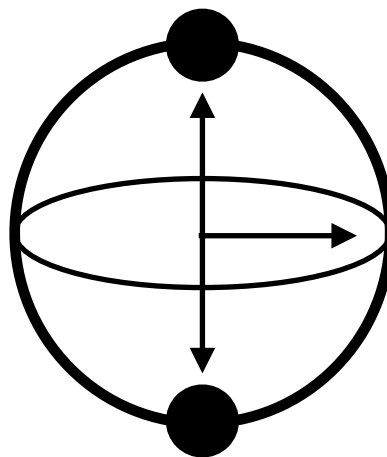
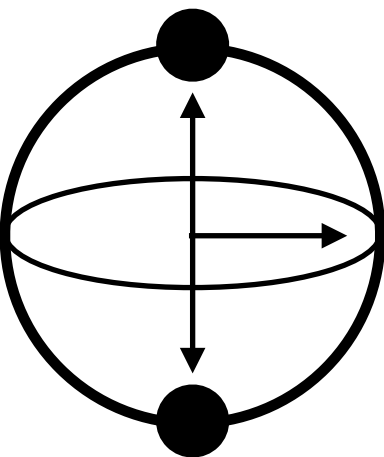


$$\frac{|0\rangle + |1\rangle}{\sqrt{2}}$$

$$\frac{|0\rangle + |1\rangle}{\sqrt{2}}$$

# 얽힘 (Entanglement)

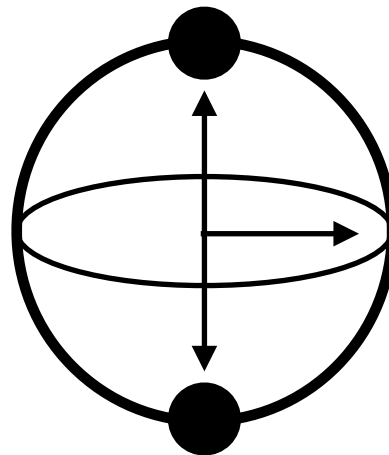
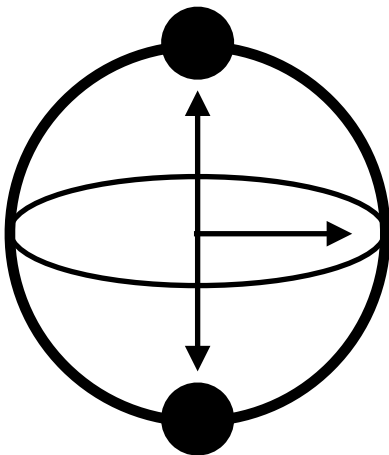
- 얽히지 않은 상태 = 개별 큐비트들이 단순 결합된 상태



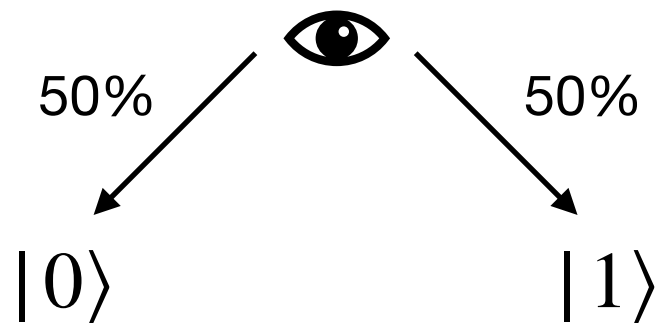
$$\frac{|0\rangle + |1\rangle}{\sqrt{2}} \times \frac{|0\rangle + |1\rangle}{\sqrt{2}} = \frac{|00\rangle + |01\rangle + |10\rangle + |11\rangle}{2}$$

# 얽힘 (Entanglement)

- 얽히지 않은 상태 = 개별 큐비트들이 단순 결합된 상태



$$\frac{|0\rangle + |1\rangle}{\sqrt{2}} \times \frac{|0\rangle + |1\rangle}{\sqrt{2}} = \frac{|00\rangle + |01\rangle + |10\rangle + |11\rangle}{2}$$

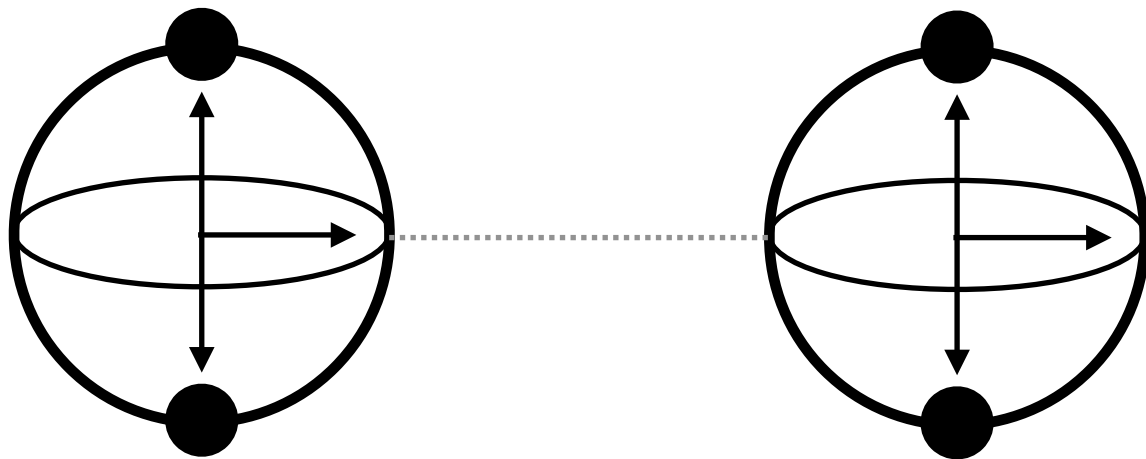


- 하나의 큐비트 관찰 결과가 다른 큐비트 상태에 영향을 주지 않음

# 얽힘 (Entanglement)

- 얽힌 상태 = 개별 큐비트 상태들로 분리 불가능

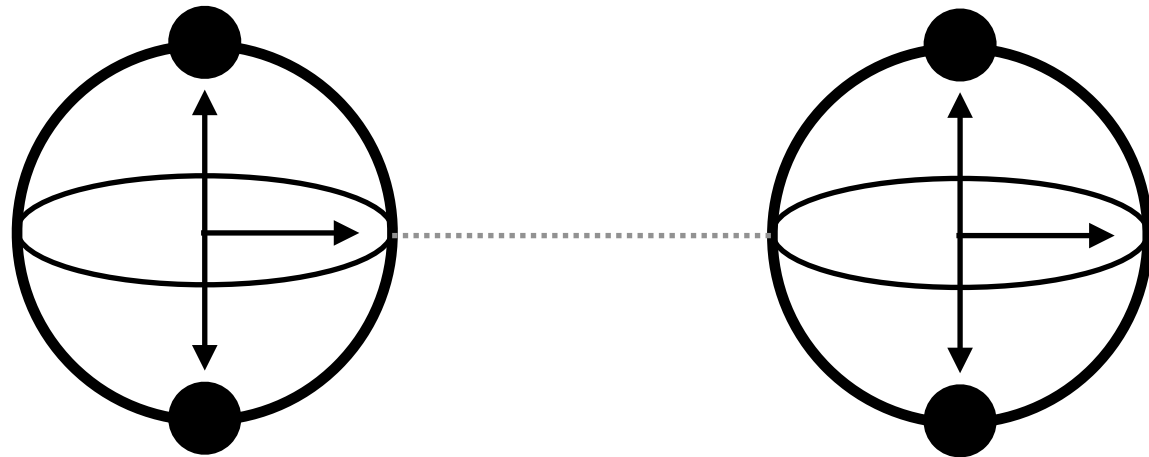
$$\frac{|00\rangle + |11\rangle}{\sqrt{2}}$$



# 얽힘 (Entanglement)

- 얽힌 상태 = 개별 큐비트 상태들로 분리 불가능

$$\frac{|00\rangle + |11\rangle}{\sqrt{2}}$$

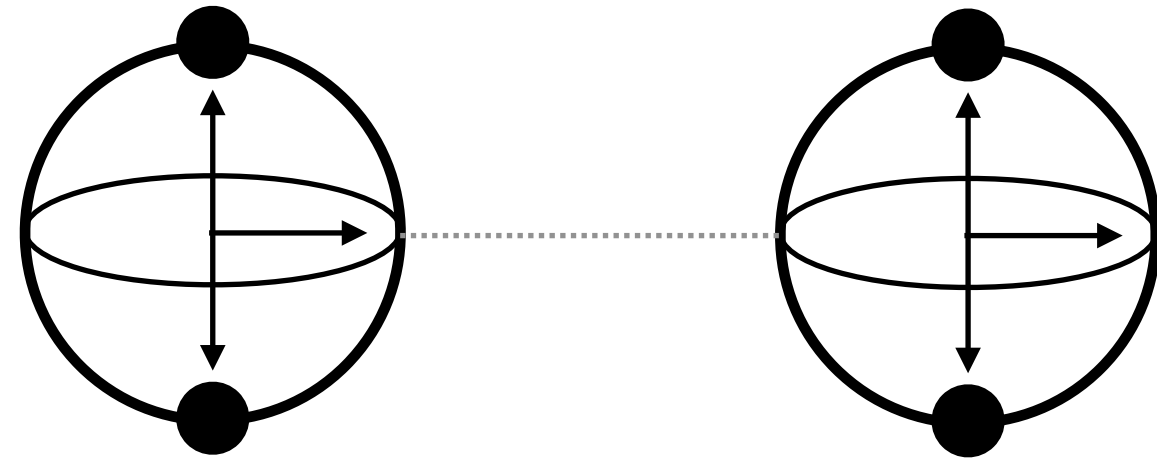


$$\neq (\alpha_0|0\rangle + \alpha_1|1\rangle) \times (\beta_0|0\rangle + \beta_1|1\rangle)$$

# 얽힘 (Entanglement)

- 얽힌 상태 = 개별 큐비트 상태들로 분리 불가능

$$\frac{|00\rangle + |11\rangle}{\sqrt{2}}$$

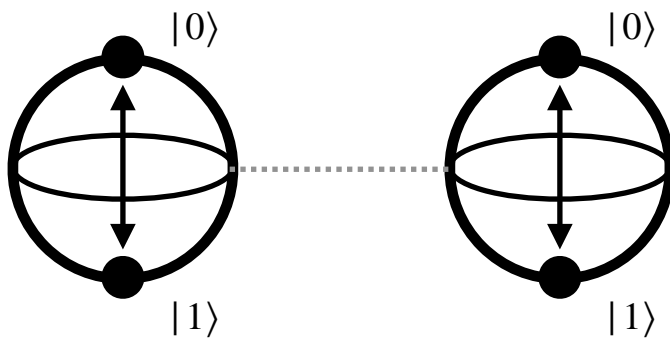


$$\neq (\alpha_0|0\rangle + \alpha_1|1\rangle) \times (\beta_0|0\rangle + \beta_1|1\rangle)$$

- 하나의 큐비트 관찰이 다른 큐비트 상태에 영향을 줌
  - 하나의 큐비트에서 0을 관측하면 다른 큐비트 상태는  $|0\rangle$ 로 결정
  - 하나의 큐비트에서 1을 관측하면 다른 큐비트 상태는  $|1\rangle$ 로 결정

# EPR 패러독스

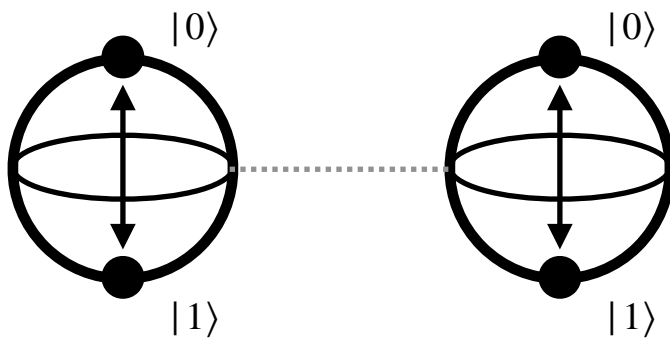
1. 두 큐비트



를  $\frac{|00\rangle + |11\rangle}{\sqrt{2}}$  상태로 준비

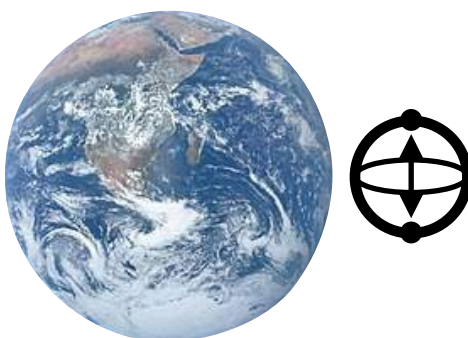
# EPR 패러독스

1. 두 큐비트



를  $\frac{|00\rangle + |11\rangle}{\sqrt{2}}$  상태로 준비

2. 두 큐비트를 서로 멀리 떨어지도록 이동

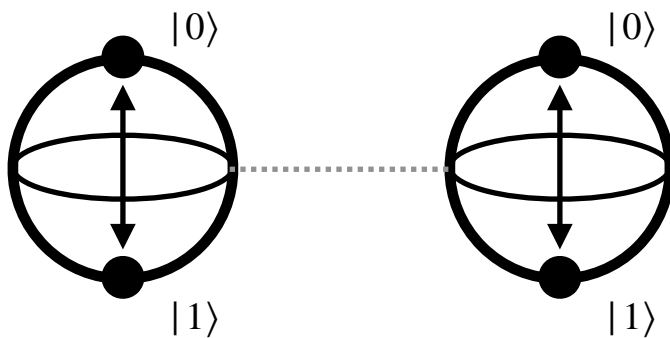


$$\frac{|00\rangle + |11\rangle}{\sqrt{2}}$$



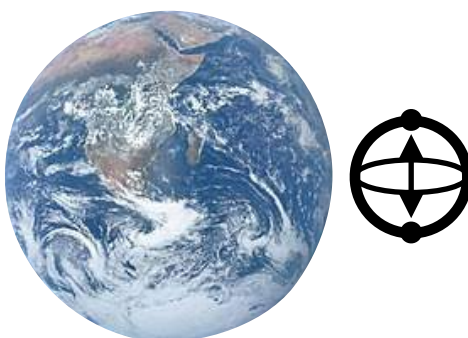
# EPR 패러독스

1. 두 큐비트



를  $\frac{|00\rangle + |11\rangle}{\sqrt{2}}$  상태로 준비

2. 두 큐비트를 서로 멀리 떨어지도록 이동



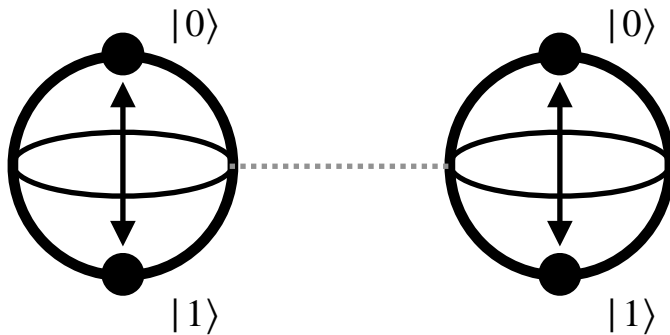
$$\frac{|00\rangle + |11\rangle}{\sqrt{2}}$$



3. 측정

# EPR 패러독스

1. 두 큐비트



를  $\frac{|00\rangle + |11\rangle}{\sqrt{2}}$  상태로 준비

2. 두 큐비트를 서로 멀리 떨어지도록 이동



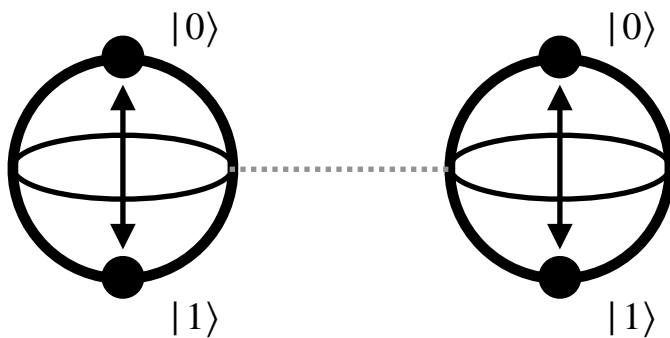
$\frac{|00\rangle + |11\rangle}{\sqrt{2}}$



3. 측정

# EPR 패러독스

1. 두 큐비트



를  $\frac{|00\rangle + |11\rangle}{\sqrt{2}}$  상태로 준비

2. 두 큐비트를 서로 멀리 떨어지도록 이동



$\frac{|00\rangle + |11\rangle}{\sqrt{2}}$

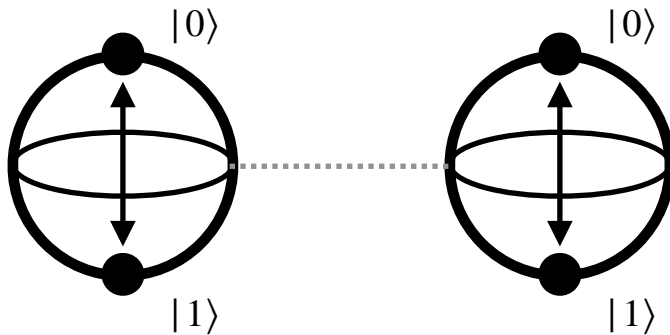
|0>



3. 측정

# EPR 패러독스

1. 두 큐비트



를  $\frac{|00\rangle + |11\rangle}{\sqrt{2}}$  상태로 준비

2. 두 큐비트를 서로 멀리 떨어지도록 이동



|0>  
|1>

$\frac{|00\rangle + |11\rangle}{\sqrt{2}}$



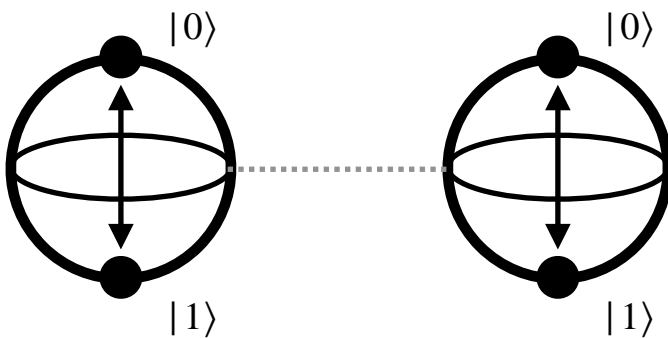
|0>



3. 측정

# EPR 패러독스

1. 두 큐비트



를  $\frac{|00\rangle + |11\rangle}{\sqrt{2}}$  상태로 준비

2. 두 큐비트를 서로 멀리 떨어지도록 이동



|0>  
|1>

$$\frac{|00\rangle + |11\rangle}{\sqrt{2}}$$



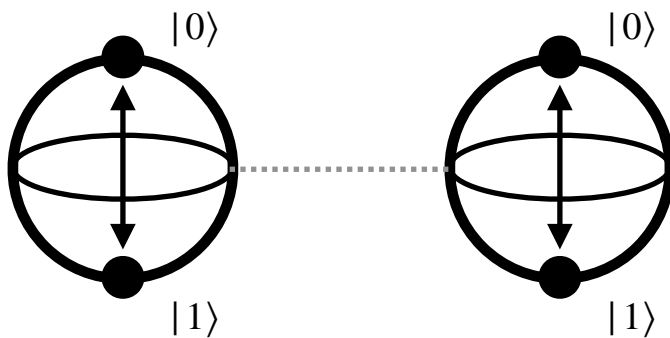
|0>  
|1>



3. 측정

# EPR 패러독스

1. 두 큐비트



를  $\frac{|00\rangle + |11\rangle}{\sqrt{2}}$  상태로 준비

2. 두 큐비트를 서로 멀리 떨어지도록 이동

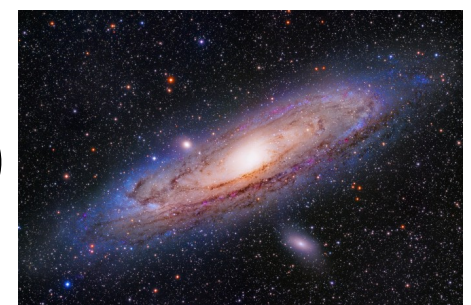


|0>  
|1>

$$\frac{|00\rangle + |11\rangle}{\sqrt{2}}$$

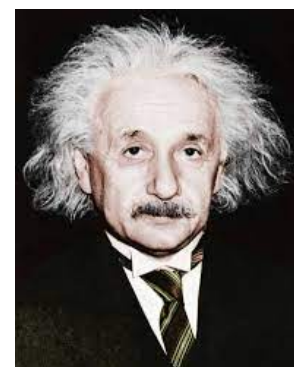


|0>  
|1>



3. 측정

“Spooky action at a distance”



# 양자 게이트

$$\alpha_0 |0\rangle + \alpha_1 |1\rangle \xrightarrow{\quad X \quad} \alpha_1 |0\rangle + \alpha_0 |1\rangle$$

- 큐비트 상태 = 벡터

$$|\psi\rangle = \alpha_0 |0\rangle + \alpha_1 |1\rangle = \alpha_0 \begin{bmatrix} 1 \\ 0 \end{bmatrix} + \alpha_1 \begin{bmatrix} 0 \\ 1 \end{bmatrix} = \begin{bmatrix} \alpha_0 \\ \alpha_1 \end{bmatrix}$$

- 게이트 연산 = 행렬 곱

$$\begin{bmatrix} 0 & 1 \\ 1 & 0 \end{bmatrix} \times \begin{bmatrix} \alpha_0 \\ \alpha_1 \end{bmatrix} = \begin{bmatrix} \alpha_1 \\ \alpha_0 \end{bmatrix}$$

# 양자 게이트

$$\alpha_0 |0\rangle + \alpha_1 |1\rangle \xrightarrow{\quad} \boxed{Z} \xrightarrow{\quad} \alpha_0 |0\rangle - \alpha_1 |1\rangle$$

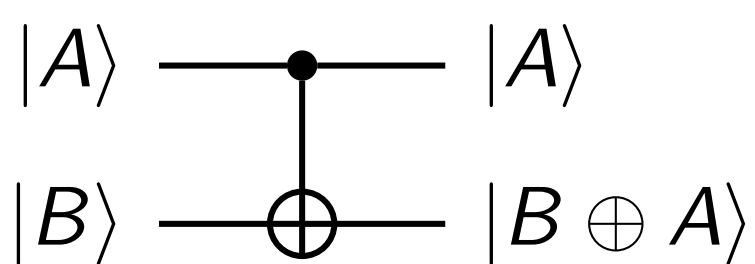
$$\begin{bmatrix} 1 & 0 \\ 0 & -1 \end{bmatrix}$$

$$\alpha_0 |0\rangle + \alpha_1 |1\rangle \xrightarrow{\quad} \boxed{H} \xrightarrow{\quad} \alpha_0 \left( \frac{|0\rangle + |1\rangle}{\sqrt{2}} \right) + \alpha_1 \left( \frac{|0\rangle - |1\rangle}{\sqrt{2}} \right)$$

$$\frac{1}{\sqrt{2}} \begin{bmatrix} 1 & 1 \\ 1 & -1 \end{bmatrix}$$

# 양자 게이트

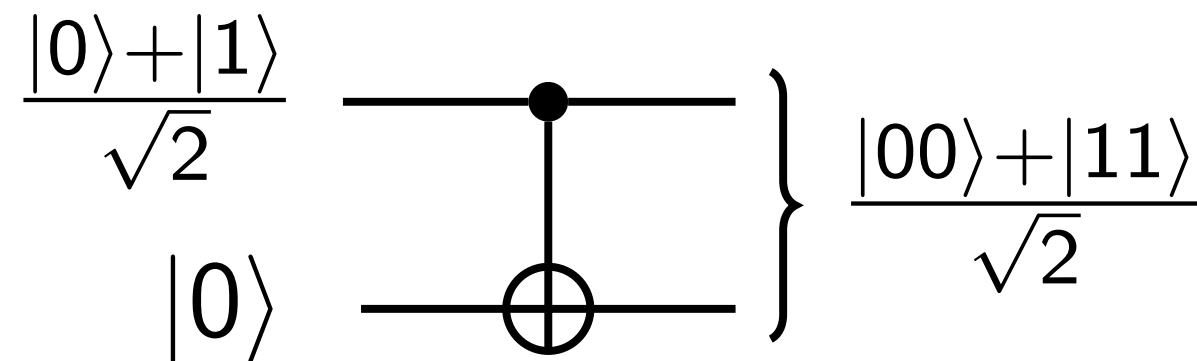
- CNOT (Controlled-Not) 게이트



$$\text{CNOT} = \begin{bmatrix} 1 & 0 & 0 & 0 \\ 0 & 1 & 0 & 0 \\ 0 & 0 & 0 & 1 \\ 0 & 0 & 1 & 0 \end{bmatrix}$$

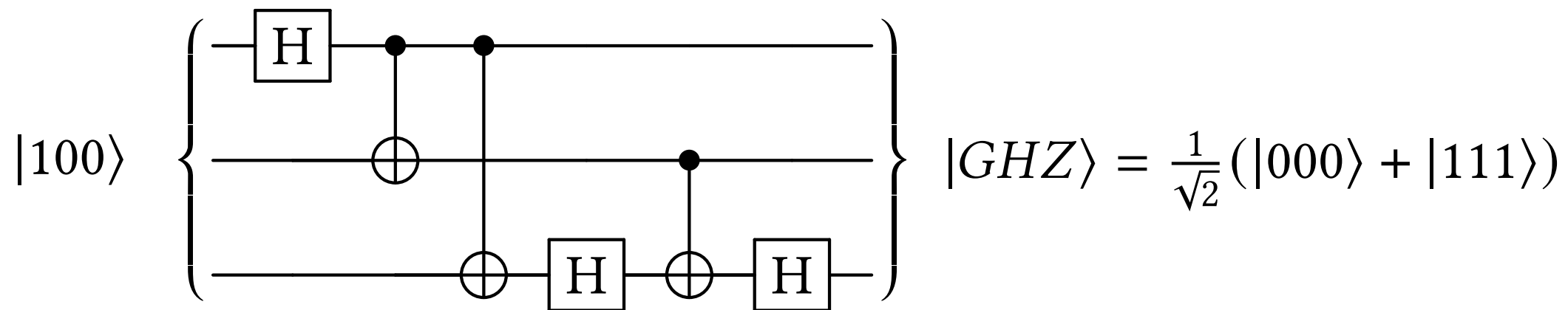
$$\begin{aligned} \text{CNOT}(\alpha_{00} |00\rangle + \alpha_{01} |01\rangle + \alpha_{10} |10\rangle + \alpha_{11} |11\rangle) \\ = \alpha_{00} |00\rangle + \alpha_{01} |01\rangle + \alpha_{10} |11\rangle + \alpha_{11} |10\rangle \end{aligned}$$

- CNOT: 얹힌 상태를 만드는데 사용



# 양자 회로

- 양자 게이트들의 조합



```
circ = QuantumCircuit(3)
circ.h(0)
circ.cx(0, 1)
circ.cx(0, 2)
circ.h(2)
circ.cx(1, 2)
circ.h(2)
```



# 양자 프로그래밍의 어려움

- 전혀 다른 계산 모델

# 양자 회로 자동 합성 (OOPSLA 2023)

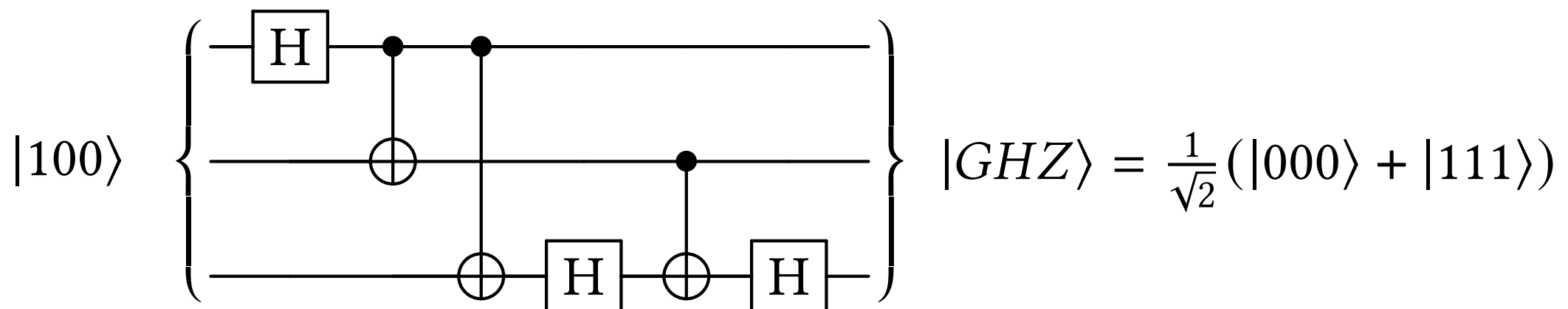
입출력 명세

$$|100\rangle \mapsto \frac{1}{\sqrt{2}}(|000\rangle + |111\rangle)$$

컴포넌트 게이트

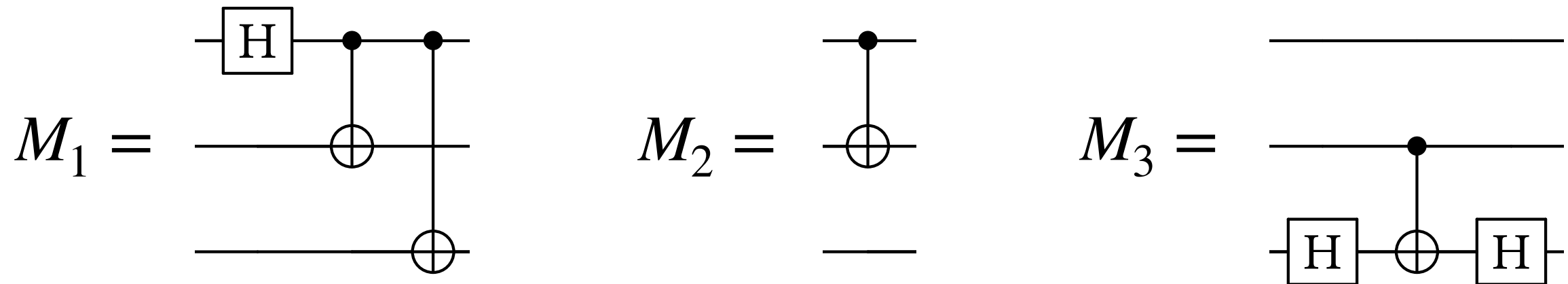
$$H, CNOT$$

양자 회로 합성기



# 아이디어: 모듈 레벨 양자 회로 합성

1. 모듈 = 게이트 조합 (up to some fixed length)

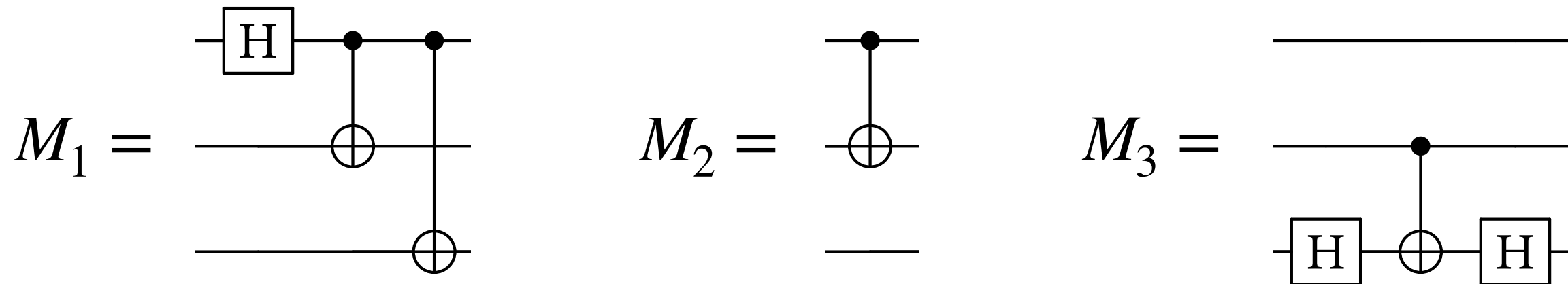


2. 명세와의 특성 차이를 줄이는 방향으로 모듈 쌓기

$$|100\rangle \left\{ \begin{array}{c} \text{---} \\ \text{---} \\ \text{---} \end{array} \right\} |GHZ\rangle = \frac{1}{\sqrt{2}}(|000\rangle + |111\rangle)$$

# 아이디어: 모듈 레벨 양자 회로 합성

1. 모듈 = 게이트 조합 (up to some fixed length)

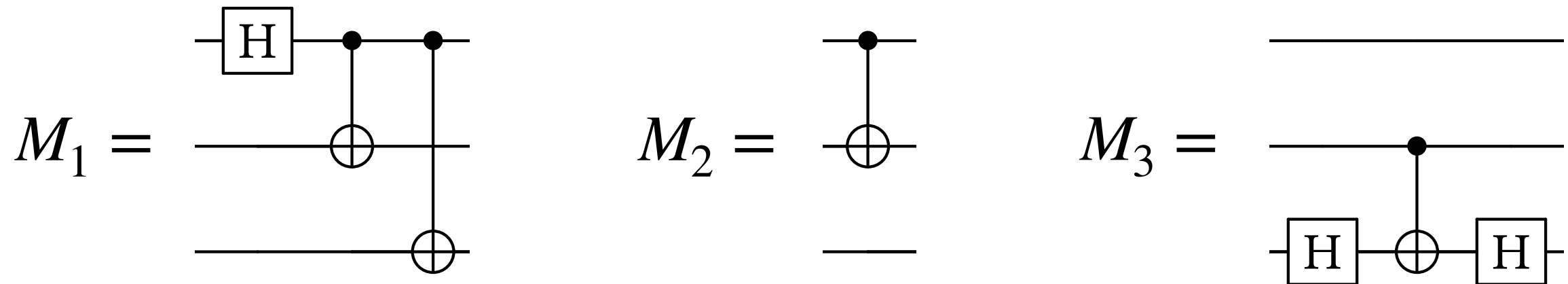


2. 명세와의 특성 차이를 줄이는 방향으로 모듈 쌓기

$$|100\rangle \left\{ \begin{array}{c} \text{---} \\ \text{---} \\ \text{---} \end{array} \right\} |GHZ\rangle = \frac{1}{\sqrt{2}}(|000\rangle + |111\rangle)$$
$$|100\rangle \xleftrightarrow{\text{'얽힘' 차이}} \frac{1}{\sqrt{2}}(|000\rangle + |111\rangle)$$

# 아이디어: 모듈 레벨 양자 회로 합성

1. 모듈 = 게이트 조합 (up to some fixed length)

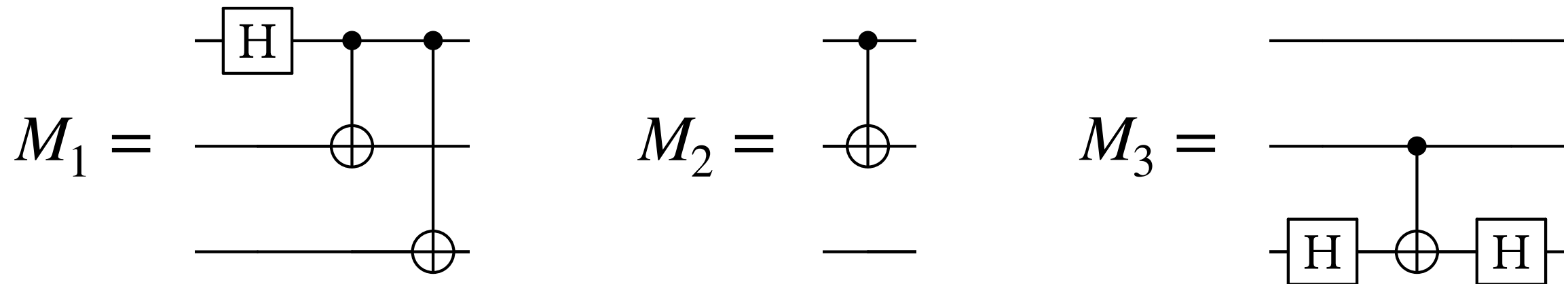


2. 명세와의 특성 차이를 줄이는 방향으로 모듈 쌓기

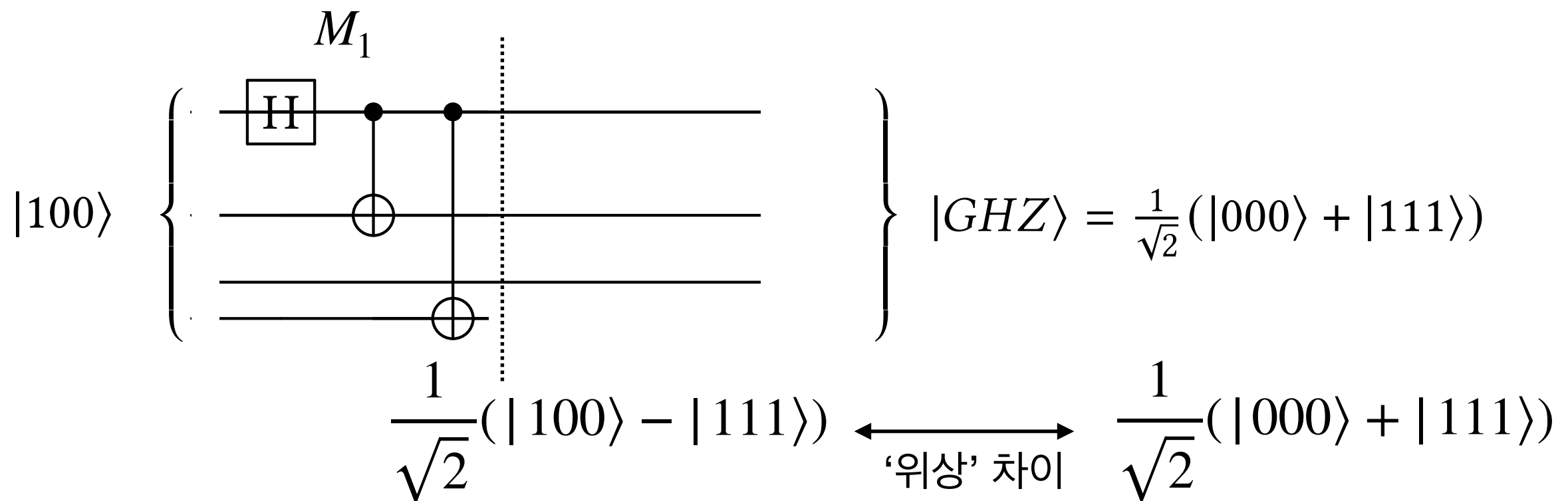
$$|100\rangle \left\{ \begin{array}{c} M_1 \\ \vdots \\ \text{---} \\ \vdots \\ \frac{1}{\sqrt{2}}(|100\rangle - |111\rangle) \end{array} \right\} |GHZ\rangle = \frac{1}{\sqrt{2}}(|000\rangle + |111\rangle)$$

# 아이디어: 모듈 레벨 양자 회로 합성

1. 모듈 = 게이트 조합 (up to some fixed length)

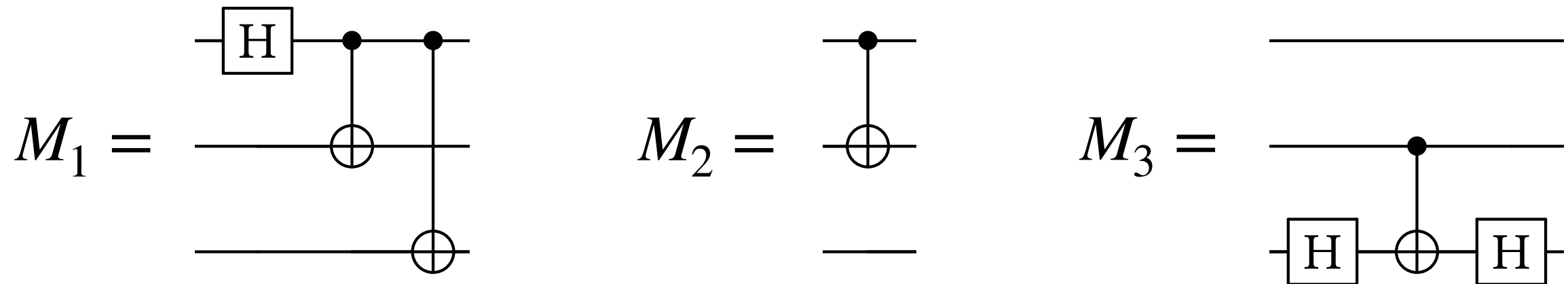


2. 명세와의 특성 차이를 줄이는 방향으로 모듈 쌓기

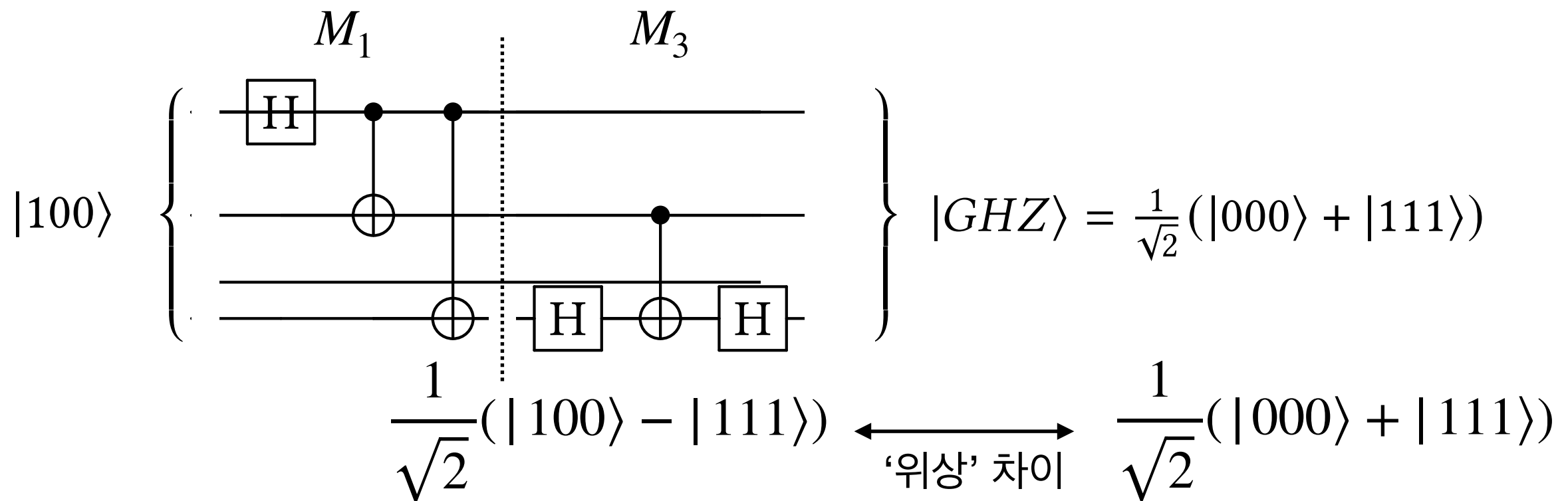


# 아이디어: 모듈 레벨 양자 회로 합성

1. 모듈 = 게이트 조합 (up to some fixed length)



2. 명세와의 특성 차이를 줄이는 방향으로 모듈 쌓기



# 합성 알고리즘의 안전성 (Soundness)

“특정 가정하에서 모듈 기반 합성 알고리즘이 항상 정답을 찾아냄”

THEOREM 4.17. Let  $E = \{(|in\rangle, |out\rangle)\}$  be an example and  $C^* = M_1; \dots; M_k$  ( $M_i \in \mathcal{M}$  and attribute of each  $M_i$  is not IDENTITY) be the solution circuit to be synthesized such that  $C^*(|in\rangle) = |out\rangle$ . Suppose  $C^*$  is monotonically decreasing (by input  $|in\rangle$ ). Then, for any prefix  $C = M_1; \dots; M_{l-1}$  ( $l \leq k$ ) of  $C^*$ ,

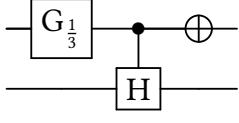
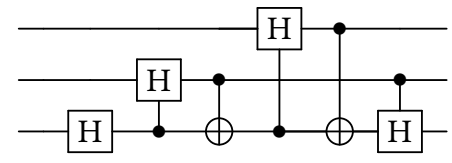
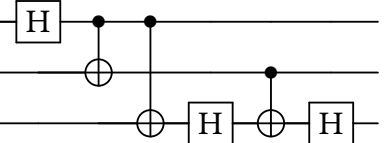
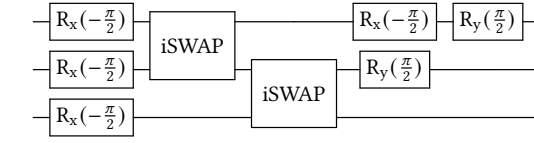
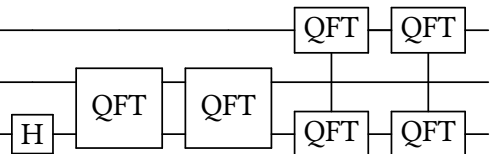
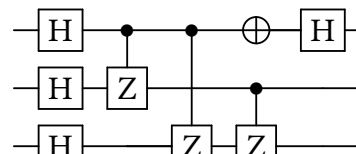
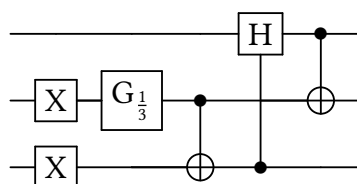
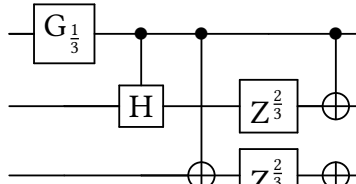
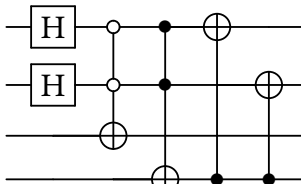
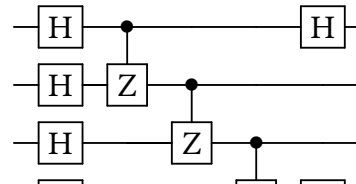
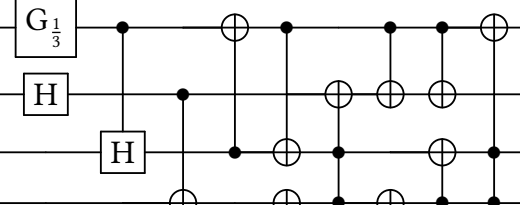
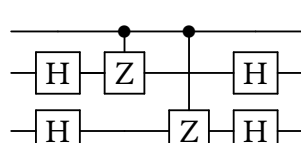
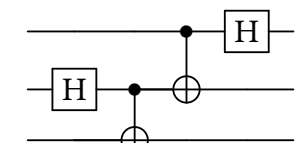
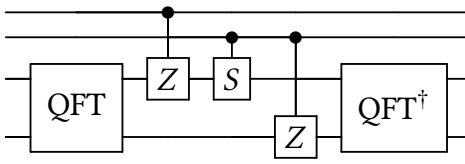
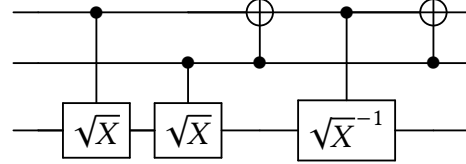
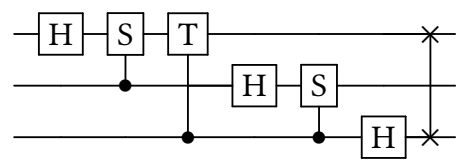
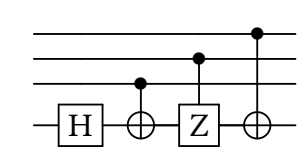
$$\text{is\_gap\_filled}(C, M_l, (|in\rangle, |out\rangle)) = \text{True}.$$

PROOF. Let  $|\psi\rangle = C|in\rangle = M_{l-1} \cdots M_1|in\rangle$  be the output vector of  $C$ . By definition  $M_k \cdots M_l|\psi\rangle = |out\rangle$  and thus

$$\text{Att}_{|\psi\rangle}(M_k M_{k-1} \cdots M_l) = |out\rangle \ominus |\psi\rangle = \text{gap\_att}_{|in\rangle, |out\rangle}(C).$$

Since  $C^*$  (and so  $C$ ) is decreasing, by Lemma 4.16  $\text{Att}_{|\psi\rangle}(M_k M_{k-1} \cdots M_l) = \text{Att}_{|\psi\rangle}(M_l)$ . Therefore,  $\text{gap\_att}_{|in\rangle, |out\rangle}(C) = \text{Att}_{|\psi\rangle}(M_l)$ , which is satisfying the criterion.  $\square$

# 벤치마크

Type	ID	Circuit	ID	Circuit
State Preparation	three_superpose		M_valued	
	GHZ_from_100		GHZ_by_iSWAP	
	GHZ_by_QFT		GHZ_Game	
	W_orthog		W_phased	
	W_four		cluster	
	bit_measure			
	flip		teleportation	
	Multi IO			
	draper		toffoli_by_sqrt_X	
	QFT		indexed_bell	

## 게이트 레벨 합성 알고리즘

## 모듈 레벨 합성 알고리즘

ID	Base <sub>no_prune</sub>	Base	Ours <sub>no_prune</sub>	Ours	Spd-up
three_superpose	0.14	0.12	0.12	0.09	1x
M_valued	1764.75	1126.79	666.25	3.89	290x
GHZ_from_100	106.81	48.16	—	0.47	102x
GHZ_by_iSWAP	—	—	690.67	2.19	-
GHZ_by_QFT	116.90	101.65	101.17	39.26	3x
GHZ_Game	—	2305.71	4.51	0.57	4058x
W_orthog	2927.20	2075.06	248.23	2.43	854x
W_phased	—	—	258.56	5.43	-
W_four	—	—	2851.10	254.88	-
cluster	—	—	3560.38	8.91	-
bit_measure	—	—	—	—	-
flip	18.56	3.95	0.76	0.83	5x
teleportation	2.02	1.30	1.35	1.35	1x
indexed_bell	14.67	11.66	1.60	1.52	8x
toffoli_by_√X	956.29	716.28	306.10	264.66	3x
QFT	—	—	—	220.87	-
draper	—	—	933.47	737.99	-
Avg. (excluding —)	656.37	639.07	687.45	96.58	20x

# 기회

- 양자 SW + X
  - 양자 SW 합성
  - 양자 SW 최적화
  - 양자 SW 정적 분석
  - 양자 SW 동적 분석
  - 양자 SW 정형 검증
  - 양자 SW 자동 수정
- 3無
  - 관심, 적용사례, 컴퓨터

감사합니다!